

МІНІСТЕРСТВО ОСВІТИ І НАУКИ УКРАЇНИ  
СУМСЬКИЙ ДЕРЖАВНИЙ УНІВЕРСИТЕТ  
КАФЕДРА ЕЛЕКТРОЕНЕРГЕТИКИ

## **КВАЛІФІКАЦІЙНА РОБОТА БАКАЛАВРА**

на тему:

«Вибір елементів електричних мереж та розрахунок зон захисту  
стрижневих блискавковідводів»

Спеціальність 141 «Електроенергетика, електротехніка та електромеханіка»

Виконав

студент гр. ЕТз-61С

---

В.В. Тищенко

Керівник

к.ф.-м.н., доцент

---

М.В. Петровський

Суми 2020

# РЕФЕРАТ

с. 72, рис. 16, табл. 28.

**Бібліографічний опис:** Тищенко В.В. Вибір елементів електричних мереж та розрахунок зон захисту стрижневих блискавковідводів [Текст]: робота на здобуття кваліфікаційного ступеня бакалавр; спеціальність 141 «Електроенергетика, електротехніка та електромеханіка» / В.В. Тищенко; керівник М.В. Петровський. – Суми: СумДУ, 2020. – 72 с.

## Ключові слова:

трансформатор, лінія електропередавання, напруга, струм, вимикач;

трансформатор, линия электропередачи, напряжение, ток, выключатель;

transformer, power line, voltage, current, circuit breaker.

**Об'єкт дослідження:** електрична мережа високої напруги.

## Короткий огляд.

Зроблений розрахунок нормального режиму роботи замкнутої електричної мережі. Обрана напруга мережі, перерізи проводів ліній електропередач, а також типи трансформаторів на підстанціях. Для обраної підстанції проведена перевірка правильності вибору номінальної потужності встановлених трансформаторів. Здійснений вибір високовольтних апаратів розподільчого пристрою, вимірювальних трансформаторів струму й напруги. Для трансформаторів підстанції виконаний розрахунок релейного захисту: поздовжнього диференційного струмового захисту та максимального струмового захисту з комбінованим пуском по напрузі. Проведений розрахунок блискавко захисту понижувальної підстанції, що виконаний у вигляді стрижневих блискавковідводів.

Змн.	Арк.	№ докум.	Підпис	Дата	БР 5.6.141.254 П3	Аркуш
						3

## ЗМІСТ

ВСТУП.....	6
1. РОЗРАХУНОК РЕЖИМІВ РОБОТИ ЕЛЕКТРИЧНОЇ МЕРЕЖІ .....	8
1.1 Вихідні дані для виконання бакалаврської роботи.....	8
1.2 Вибір напруг ліній.....	9
1.3 Вибір типу проводів повітряних ліній .....	10
1.4 Розрахунок потужностей трансформаторів підстанцій .....	12
1.5 Розрахунок навантажень вузлів з урахуванням трансформаторів.....	16
1.6 Розрахунок потужностей на ділянках мережі з урахуванням втрат потужності в трансформаторах.....	20
1.7 Визначення напруг у вузлах навантаження.....	22
1.8 Регулювання напруг у вузлах навантаження .....	24
2 РОЗРАХУНОК ЕЛЕКТРИЧНОЇ ЧАСТИНИ ПІДСТАНЦІЇ .....	26
2.1 Вибір силових трансформаторів та їх перевірка за графіком навантаження	26
2.2 Розрахунок струмів короткого замикання.....	28
2.3 Вибір захисної та комутаційної апаратури.....	31
2.4 Вибір збірних шин.....	34
2.5 Вибір вимірювальних трансформаторів струму та напруги.....	39
2.6 Обґрунтування схеми електричних з'єднань підстанції .....	46
2.7 Вибір трансформаторів власних потреб .....	48

Зм.	Арк.	№ докум.	Підпис	Дата
Розробив	Тищенко В.В.			
Керівник	Петровський М.В.			
Консульт.				
Н.контроль				
Завтвр.	Лебединський І.Л.			

БР 5.6.141.254 ПЗ  
Вибір елементів електричних мереж  
та розрахунок зон захисту  
стрижневих блискавковідводів.  
Пояснювальна записка.

Літ.

Лист

Листів

4

72

СумДУ, ЕТз-61С

3 РОЗРАХУНОК РЕЛЕЙНОГО ЗАХИСТУ ТРАНСФОРМАТОРА .....	52
3.1 Визначення параметрів, необхідних для розрахунків захисту трансформатора .....	52
3.2 Розрахунок струмів короткого замикання .....	53
3.3 Розрахунок поздовжнього диференціального струмового захисту та вибір типу реле .....	55
3.4 Вибір уставок реле ДЗТ-11 .....	57
3.5 Розрахунок максимального струмового захисту з комбінованим пуском по напрузі .....	60
4. РОЗРАХУНОК ЗОН ЗАХИСТУ СТРИЖНЕВИХ БЛИСКАВКОВІДВОДІВ ВРП .....	63
ВИСНОВКИ .....	70
СПИСОК ЛІТЕРАТУРИ .....	71

Змн.	Арк.	№ докум.	Підпис	Дата	БР 5.6.141.254 П3	Аркуш
						5

## ВСТУП

В умовах безперервного розвитку промисловості країни з'являється усе більше й більше нових підприємств, які вносять вклад у збільшення енергоспоживання. Слід також зауважити, що зі збільшенням числа енергоспоживаючих об'єктів, розширяється щільність географічного розташування споживачів електричної енергії. У зв'язку із цим з'являється потреба в розширенні існуючих мереж і в створенні нових. Зростаюча кількість енергоспоживаючих об'єктів веде до збільшення потужностей, які передаються по електричних мережах. Одним із найголовніших завдань сьогодні є економічне використання існуючого електричного обладнання й розробка нового з поліпшеними параметрами.

Дана робота є випускною роботою бакалавра за спеціальністю 141 «Електроенергетика, електротехніка та електромеханіка».

Виконання бакалаврської роботи необхідно з метою:

- придбання досвіду аналізу отриманих результатів, формування висновків і публічного захисту виконаної роботи;
- формування навичок використання отриманих знань, під час розв'язання конкретних практичних і науково-технічних задач;
- придбання досвіду виконання технічної документації пояснлюальної записки й креслень відповідно до умов діючих стандартів;
- систематизації, закріplення й поглиблення теоретичних і практичних знань по загальнотехнічних і спеціальних дисциплінах за напрямком професійної підготовки.

У процесі виконання бакалаврської роботи необхідно вирішити такі задачі:

1. За заданими навантаженнями і довжинами ліній вибрati напругу мережі.
2. За напругами мережі й навантаженнями вибрati тип проводів повітряних ліній.
3. За напругами мережі й навантаженнями вибрati трансформатори.

Змн.	Арк.	№ докум.	Підпис	Дата	БР 5.6.141.254 П3	Аркуш
						6

4. Визначити питомі параметри ЛЕП і каталожні дані трансформаторів. Виконати розрахунки параметрів схеми заміщення лінії й трансформаторів. Визначити приведені до сторони ВН навантаження трансформаторів (з урахуванням втрат в обмотках трансформаторів).

5. Скласти розрахункову схему заміщення мережі й визначити розрахункові навантаження вузлів мережі (з урахуванням втрат у гілці намагнічування трансформаторів і реактивної потужності, яка генерується лініями).

6. Виконати розрахунки нормального режиму замкненої мережі (усі лінії включені в роботу) для двох випадків: режим максимального навантаження (задані) і режим мінімального навантаження (прийняти рівною 50% від заданої). Визначити напруги у вузлах мережі, втрати напруги й втрати потужності в мережі. Виконати аналіз отриманих результатів.

7. При необхідності запропонувати способи регулювання напруги у вузлах навантаження.

8. Для обраної підстанції, яка входить до складу розглянутої мережі, виконати перевірку вибору потужності силових трансформаторів, установленіх на підстанції.

9. Розрахувати струми короткого замикання для забезпечення захисту підстанції.

10. Вибрати за умовами роботи високовольтні апарати розподільних пристрій підстанції й перевірити їх на можливість спрацьовування в умовах короткого замикання.

11. Виконати розрахунки релейного захисту високовольтної повітряної лінії, побудувати карту селективності.

12. Провести розрахунок блискавко захисту захисного ВРП.

13. Зробити висновки про результати виконаних розрахунків.

Змн.	Арк.	№ докум.	Підпис	Дата

БР 5.6.141.254 П3

Аркуш

# 1. РОЗРАХУНОК РЕЖИМІВ РОБОТИ ЕЛЕКТРИЧНОЇ МЕРЕЖІ

## 1.1 Вихідні дані для виконання бакалаврської роботи

Згідно з отриманим завданням, необхідно розрахувати електричну мережу, однолінійна електрична схема якої наведена на рис. 1.1.

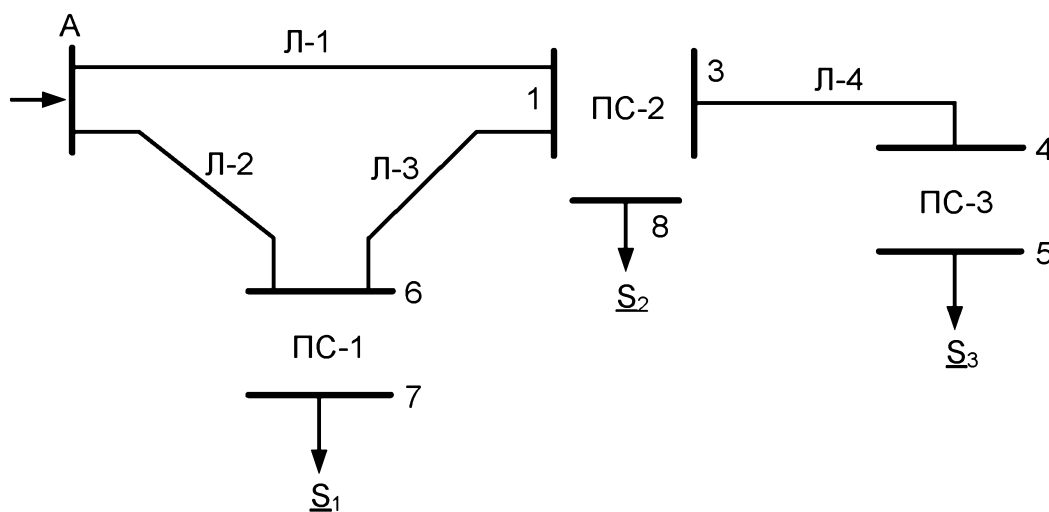


Рисунок 1.1 – Вихідна однолінійна електрична схема з'єднань заданої електричної мережі

Довжини ліній і потужності навантажень електричної мережі наведені в таблиці 1.1.

Таблиця 1.1 – Вихідні дані електричної мережі

Довжина ПЛ, км				Потужності навантажень вузлів, МВА		
Л-1	Л-2	Л-3	Л-4	$\underline{S}_1$	$\underline{S}_2$	$\underline{S}_3$
30	30	35	20	$60+j50$ I	$30+j20$ II	$5+j8$ III

## 1.2 Вибір напруг ліній

Приймемо навантаження вузла 6 рівному навантаженню вузла 7, навантаження вузла 1 рівному навантаженню вузлів 5 і 8. Зобразимо замкнену мережу, що складається з ліній Л-1, Л-2, Л-3 (рис. 1.2). Визначимо розрахункові навантаження вузлів 1 і 6.

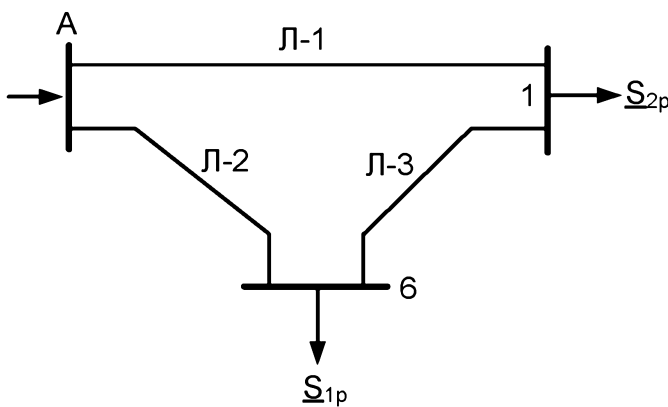


Рисунок 1.2 – Замкнена мережа

$$\underline{S}_{1P} = \underline{S}_1 = 60 + j50 \text{ МВА};$$

$$\underline{S}_{2P} = \underline{S}_2 + \underline{S}_3 = 30 + j20 + 5 + j8 = 35 + j28 \text{ МВА}.$$

Для визначення в замкненій частині мережі розподілу потужностей можна її умовно розділити по джерелу живлення А і представити у вигляді лінії із двостороннім живленням (рис. 1.3). Позначимо потужності на ділянках мережі.

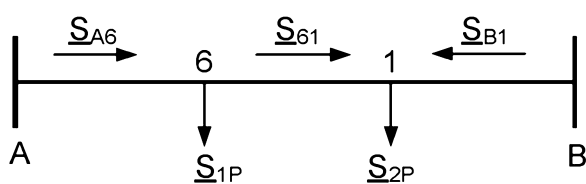


Рисунок 1.3 – Розімкнута мережа

Визначаємо потужності на ділянках розімкнутої мережі

Змн.	Арк.	№ докум.	Підпис	Дата

$$\underline{S}_{A6} = \frac{\underline{S}_{1P}(l_{61} + l_{1B}) + \underline{S}_{2P}(l_{1B})}{l_{A6} + l_{1B} + l_{61}} = 52,11 + j43,05 \text{ МВА} ;$$

$$\underline{S}_{61} = \underline{S}_{A6} - \underline{S}_{1P} = -7,89 - j6,95 \text{ МВА} ;$$

$$\underline{S}_{B1} = \frac{\underline{S}_{2P}(l_{61} + l_{A6}) + \underline{S}_{1P}(l_{A6})}{l_{A6} + l_{61} + l_{1B}} = 42,89 + j34,95 \text{ МВА} .$$

Складемо рівняння балансу потужності

$$\underline{S}_{A6} + \underline{S}_{B1} = \underline{S}_{1P} + \underline{S}_{2P} ;$$

$$95 + j78 = 95 + j78 .$$

Баланс потужності виконується.

Потужність ділянки 6-1 вийшла негативною, тому точка 6 є точкою потокорозділу.

### 1.3 Вибір типу проводів повітряних ліній

Визначаємо напруги на ділянках мережі (рис. 1.2) по формулі Ілларіонова:

$$U_n = \frac{1000}{\sqrt{\frac{500}{L} + \frac{2500}{P_n}}} .$$

Таблиця 1.2 – Напруги на ділянках мережі

Номер ділянки	Л-1	Л-2	Л-3
Довжина ділянки, км	30	30	35
Напруга ділянки, кВ	115,5	124,4	55

Так як для всіх ліній кільцевої мережі бажано мати однакову напругу, то приймаємо напругу  $U_H = 110$  кВ.

Змн.	Арк.	№ докум.	Підпис	Дата	<i>БР 5.6.14 1.254 П3</i>	Аркуш
						10

## Визначаємо струми проводів ліній

$$I = \frac{S_{\text{л}}}{\sqrt{3}U_{\text{л}}}.$$

Таблиця 1.3 – Струми на ділянках мережі

Номер ділянки	Л-1	Л-2	Л-3
Струм, А	290,4	354,8	55,2

У якості проводів для всіх ліній приймаємо сталеалюмінієві проводи марки АС.

Користуючись довідковими даними [2], відповідно із шкалою стандартних перетинів, а також з урахуванням можливого перевантаження ліній при роботі в аварійному режимі, вибираємо тип проводу для кожної лінії табл. 1.4.

Таблиця 1.4 – Марка й параметри проводів

Номер ділянки	Л-1	Л-2	Л-3
Марка й перетин проводу	AC-185/29	AC-185/29	AC-185/29
Параметри проводів			
Тривало допустимий струм, А	510	510	510
$r_0$ , Ом/км	0,159	0,159	0,159
$x_0$ , Ом/км	0,413	0,413	0,413
$b_0 \cdot 10^{-6}$ , См/км	2,75	2,75	2,75

Перевіряємо обрані проводи в лініях за умовою корони.

Згідно ПУЕ, мінімально допустимий перетин проводів по короні для ліній напругою 110 кВ становить  $70 \text{ mm}^2$ .

Таким чином, для кожної з ліній ця умова виконана.

Знайдемо параметри ліній електричної мережі.

Значення активних і реактивних опорів ліній, а також величина зарядної потужності розраховуються по формулах:

Змн.	Арк.	№ докум.	Підпис	Дата	БР 5.6.14.1.254 П3	Аркуш
						11

$$R_n = r_0 \cdot l_n; \quad X_n = x_0 \cdot l_n; \quad \frac{jQ_n}{2} = U_{nom}^2 \cdot \frac{b_0 \cdot l_n}{2}.$$

Визначаємо опори ділянок мережі

$$R_{A1} = 0.159 \cdot 30 = 6.36 \text{ Ом}; \quad X_{A1} = 0.413 \cdot 30 = 16.52 \text{ Ом};$$

$$R_{A6} = 0.159 \cdot 30 = 4.77 \text{ Ом}; \quad X_{A6} = 0.413 \cdot 30 = 12.39 \text{ Ом};$$

$$R_{61} = 0.159 \cdot 35 = 6.36 \text{ Ом}; \quad X_{61} = 0.413 \cdot 35 = 16.52 \text{ Ом}.$$

Визначаємо зарядну потужність ділянок мережі

$$\frac{jQ_{A1}}{2} = 110^2 \cdot \frac{2.75 \cdot 10^{-6} \cdot 30}{2} = j0.666 \text{ МВАр};$$

$$\frac{jQ_{A6}}{2} = 110^2 \cdot \frac{2.75 \cdot 10^{-6} \cdot 30}{2} = j0.499 \text{ МВАр};$$

$$\frac{jQ_{61}}{2} = 110^2 \cdot \frac{2.75 \cdot 10^{-6} \cdot 35}{2} = j0.666 \text{ МВАр}.$$

#### 1.4 Розрахунок потужностей трансформаторів підстанції

За напругами мережі й навантаженнями вибираємо трансформатори.

На підстанції ПС-1, зважаючи на те, що споживачі відносяться до I категорії надійності електропостачання, приймаємо установку 2-х двохобмоточних трансформаторів з напругою високої сторони 110 кВ.

Розрахункова потужність кожного трансформатора:

$$S_{T1} \geq \frac{\underline{S}_1}{1,4} = \frac{\sqrt{60^2 + 50^2}}{1,4} = 63,8 \text{ МВА}.$$

За напругою та потужністю навантаження, використовуючи [2,3], вибираємо трансформатор ТДЦ-80000/110.

Визначаємо коефіцієнт завантаження трансформаторів у нормальному режимі:

Змн.	Арк.	№ докум.	Підпис	Дата	БР 5.6.14 1.254 П3	Аркуш
						12

$$k_{\text{знорм1}} = \frac{S_{\text{макс1}}}{2 \cdot S_{T1}} = \frac{\sqrt{60^2 + 50^2}}{2 \cdot 80} = 0,546.$$

Оскільки коефіцієнт завантаження менше 0,75, то два паралельно працюючі трансформатори ТДЦ-80000/110 задовольняють пред'явленим вимогам.

Таблиця 1.5 – Каталожні дані трансформатора ТДЦ-80000/110

Тип	S <sub>ном</sub> , МВА	Межі регулю- вання	Каталожні дані					Розрахункові дані			
			U <sub>ном</sub> обмоток, кВ		U <sub>k</sub> , %	ΔP <sub>k</sub> , кВт	ΔP <sub>x</sub> , кВт	I <sub>x</sub> , %	R <sub>t</sub> , Ом	X <sub>t</sub> , Ом	ΔQ <sub>x</sub> , кВАр
			ВН	НН							
ТДЦ- 80000/110	80	±6*2,5%	121	6,3; 10,5; 13,8	10,5	310	70	0,6	0,71	19,2	480

На підстанції ПС-2, зважаючи на те, що є споживачі які відносяться до II категорії надійності електропостачання, приймаємо установку 2-х трьохобмоточних трансформаторів з напругою високої сторони 110 кВ.

Розрахункова потужність кожного трансформатора:

$$S_{T2} \geq \frac{S_2 + S_3}{1,4} = \frac{\sqrt{35^2 + 28^2}}{1,4} = 32,5 \text{ МВА.}$$

За напругою й потужністю навантаження, використовуючи [2,3], вибираємо трансформатор ТДТН-40000/110.

Визначаємо коефіцієнт завантаження трансформаторів у нормальному режимі:

$$k_{\text{знорм2}} = \frac{S_{\text{макс2}}}{2 \cdot S_{T2}} = \frac{\sqrt{35^2 + 28^2}}{2 \cdot 40} = 0,56.$$

Оскільки коефіцієнт завантаження менше 0,75, то два паралельно працюючі трансформатори ТДТН-40000/110 задовольняють пред'явленим вимогам.

Таблиця 1.6 – Каталожні дані трансформатора ТДТН-40000/110

Тип	S <sub>ном</sub> , МВА	Межі регулювання	Каталожні дані					
			U <sub>ном</sub> обмоток, кВ			U <sub>k</sub> , %		
			ВН	СН	НН	В-С	В-Н	С-Н
ТДТН-40000/110	40	±9*1,78%	115	11; 22; 38,5	6,6; 11	10,5(17)	17(10,5)	6

Продовження таблиці 1.6

Тип	Каталожні дані					Розрахункові дані						ΔQ <sub>x</sub> , кВАр	
	ΔP <sub>k</sub> , кВт			ΔP <sub>x</sub> , кВт	I <sub>x</sub> , %	R <sub>t</sub> , Ом			X <sub>t</sub> , Ом				
	В-С	В-Н	С-Н			ВН	СН	НН	ВН	СН	НН		
ТДТН-40000/110	430	-	-	43	0,6	0,8	0,8	0,8	35,5	0	22,3	240	

На підстанції ПС-3, зважаючи на те, що споживачі відносяться до III категорії надійності електропостачання, приймаємо установку двохобмоточного трансформатора з напругою високої сторони 35 кВ.

Розрахункова потужність трансформатора:

$$S_{T3} \geq 0,9 \cdot \underline{S}_3 = 0,9 \sqrt{5^2 + 8^2} = 8,5 \text{ МВА.}$$

За напругою й потужністю навантаження використовуючи [2,3] вибираємо трансформатор ТМН-10000/35.

Визначаємо коефіцієнт завантаження трансформатора в нормальному режимі:

$$k_{\text{зノрм3}} = \frac{S_{\text{макс3}}}{S_{T3}} = \frac{\sqrt{5^2 + 8^2}}{10} = 0,94.$$

Змн.	Арк.	№ докум.	Підпис	Дата	БР 5.6.141.254 П3	Аркуш
						14

Оскільки коефіцієнт завантаження менше 1,0, то трансформатор ТМН-10000/35 задовільняє пред'явленим вимогам.

Таблиця 1.7 – Каталожні дані трансформатора ТМН-10000/35

Тип	$S_{\text{ном}}, \text{MVA}$	Межі регулювання	Каталожні дані						Розрахункові дані		
			$U_{\text{ном}}$ обмоток, кВ		$U_k, \%$	$\Delta P_k, \text{kVt}$	$\Delta P_x, \text{kVt}$	$I_x, \%$	$R_t, \text{Ом}$	$X_t, \text{Ом}$	$\Delta Q_x, \text{kVAr}$
			ВН	НН							
ТМН-10000/35	10	$\pm 9*1,8\%$	36,75	6,3; 10,5	7,5	65	14,5	0,8	0,88	10,1	80

Складаємо однолінійну схему заміщення електричної мережі з урахуванням трансформаторів підстанцій

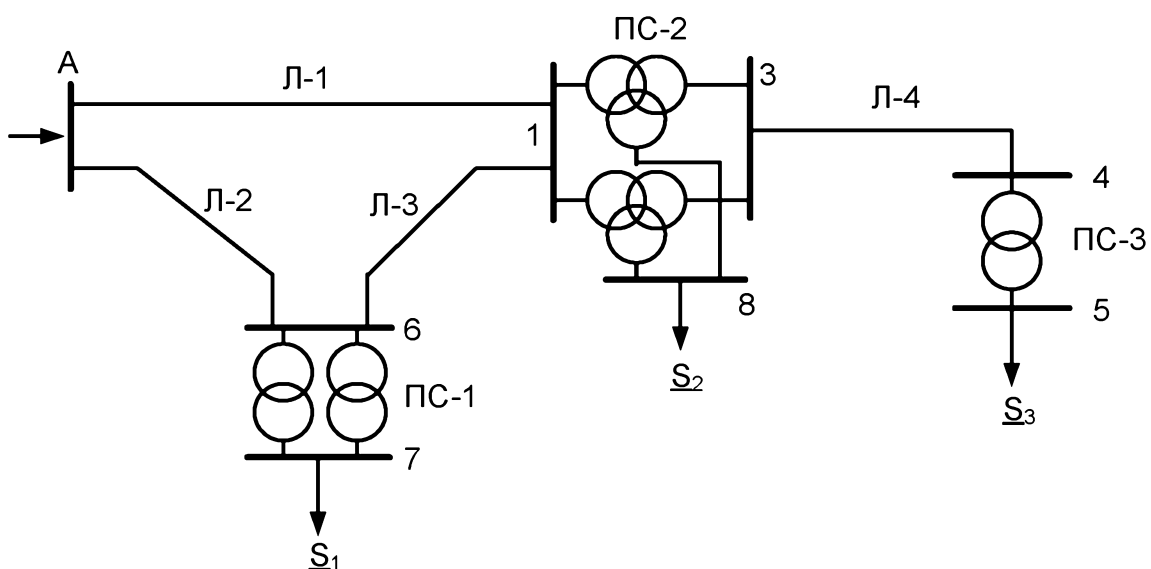


Рисунок 1.4 – Однолінійна схема електричної мережі з урахуванням трансформаторів підстанцій

Вибираємо тип проводу для лінії Л-4. Для цього визначаємо струм в лінії за формулою:

$$I_{34} = \frac{S_3}{\sqrt{3} \cdot U} = \frac{\sqrt{5^2 + 8^2}}{\sqrt{3} \cdot 35} = 155 \text{ A.}$$

По каталогу [2] обираємо провід АС-70/11, технічні дані якого наведені в таблиці 1.8.

Таблиця 1.8 – Технічні дані проводу АС-70/11

Переріз проводу, мм <sup>2</sup>	Тривало припустимий струм, А	Діаметр проводу, мм	$r_0$ , Ом/км, при +20° С	35 кВ	
				$x_0$ , Ом/км	$b_0 \cdot 10^{-6}$ См/км
70/11	265	10,7	0,422	0,418	2,72

Значення активних і реактивних опорів ліній, а також величина зарядної потужності розраховуються по формулах:

$$R_n = r_0 \cdot l_n; \quad X_n = x_0 \cdot l_n; \quad \frac{jQ_n}{2} = U_{nom}^2 \cdot \frac{b_0 \cdot l_n}{2}.$$

Визначаємо опори ділянки мережі

$$R_{34} = 0.422 \cdot 20 = 8.44 \text{ Ом}; \\ X_{34} = 0.418 \cdot 20 = 8.36 \text{ Ом}.$$

Визначаємо зарядну потужність ділянки мережі

$$\frac{jQ_{34}}{2} = 35^2 \cdot \frac{2.72 \cdot 10^{-6} \cdot 20}{2} = j0.0333 \text{ МВАр.}$$

## 1.5 Розрахунок навантажень вузлів з урахуванням трансформаторів

Визначаємо розрахункову потужність у вузлі 6 з урахуванням втрат в обмотках трансформаторів ПС-1 при максимальному навантаженні. Зображені схему заміщення двох двохобмоточних трансформаторів, включених паралельно, і розраховуємо потужність у вузлі 6

Змн.	Арк.	№ докум.	Підпис	Дата	БР 5.6.141.254 П3	Аркуш
						16

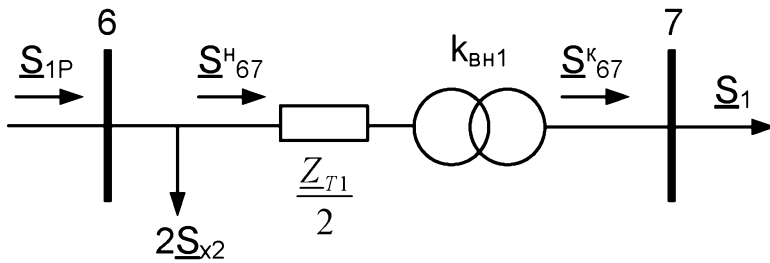


Рисунок 1.5 – Схема заміщення підстанції ПС-1

Визначаємо потужність  $\underline{S}_{67}^K$ :

$$\underline{S}_{67}^K = \underline{S}_1 = 60 + j50 \text{ МВА}.$$

Визначаємо потужності  $\underline{S}_{67}^H$ :

$$\underline{S}_{67}^H = \underline{S}_{67}^K + \frac{(P_{67}^K)^2 + (Q_{67}^K)^2}{U_H^2} \cdot \frac{Z_{T1}}{2} = 60.3 + j76.7 \text{ МВА};$$

При визначені розрахункової потужності  $\underline{S}_{1P}$  враховуються зарядові потужності ліній, що підходять до вузла 6

$$S_{1P} = S_{67}^H + 2\underline{S}_X - j\left(\frac{Q_{A6} + Q_{61}}{2}\right) = 60.39 + j76.54 \text{ МВА}.$$

Визначаємо розрахункову потужність у вузлі 4 з урахуванням втрат в обмотці трансформатора ПС-3 при максимальному навантаженні. Зображені схема заміщення двохобмоточного трансформатора й розраховуємо потужність у вузлі 4.

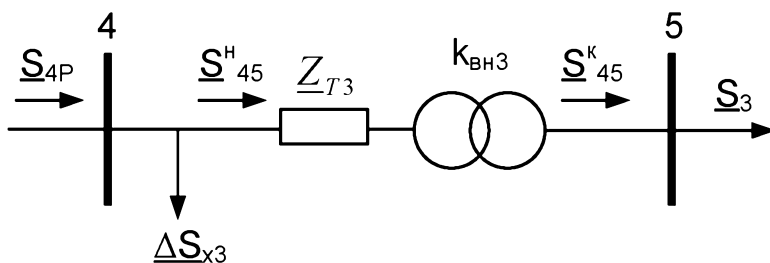


Рисунок 1.6 – Схема заміщення підстанції ПС-3

Змн.	Арк.	№ докум.	Підпис	Дата	БР 5.6.14.1.254 П3	Аркуш

Визначаємо потужність  $\underline{S}_{45}^K$ :

$$\underline{S}_{45}^K = \underline{S}_3 = 5 + j8 \text{ МВА.}$$

Визначаємо потужності  $\underline{S}_{45}^H$ :

$$\underline{S}_{45}^H = \underline{S}_{45}^K + \frac{(P_{45}^K)^2 + (Q_{45}^K)^2}{U_H^2} \cdot \underline{Z}_{T3} = 5.06 + j8.7 \text{ МВА;}$$

При визначенні розрахункової потужності  $\underline{S}_{4P}$  враховуються втрати холостого ходу трансформатора

$$\underline{S}_{4P} = \underline{S}_{45}^H + \underline{S}_X = 5.08 + j8.8 \text{ МВА.}$$

Розрахункова потужність у вузлі 3 визначається з урахуванням втрат потужності в лінії Л-4 при максимальному навантаженні.

Визначаємо потужність в кінці лінії Л-4  $\underline{S}_{34}^K$ :

$$\underline{S}_{34}^K = \underline{S}_{4P} = 5,08 + j8,81 \text{ МВА.}$$

Визначаємо потужність на початку лінії Л-4  $\underline{S}_{34}^H$

$$\underline{S}_{34}^H = \underline{S}_{34}^K + \frac{(P_{34}^K)^2 + (Q_{34}^K)^2}{U_H^2} \cdot \underline{Z}_{34} = 5,79 + j9,52 \text{ МВА.}$$

Визначаємо розрахункову потужність у вузлі 1 з урахуванням втрат в обмотках трансформаторів ПС-2 при максимальному навантаженні.

Зображену схему заміщення двох трьохобмоточних трансформаторів та розраховуємо потужність у вузлі 1.

Змн.	Арк.	№ докум.	Підпис	Дата	БР 5.6.14 1.254 П3	Аркуш

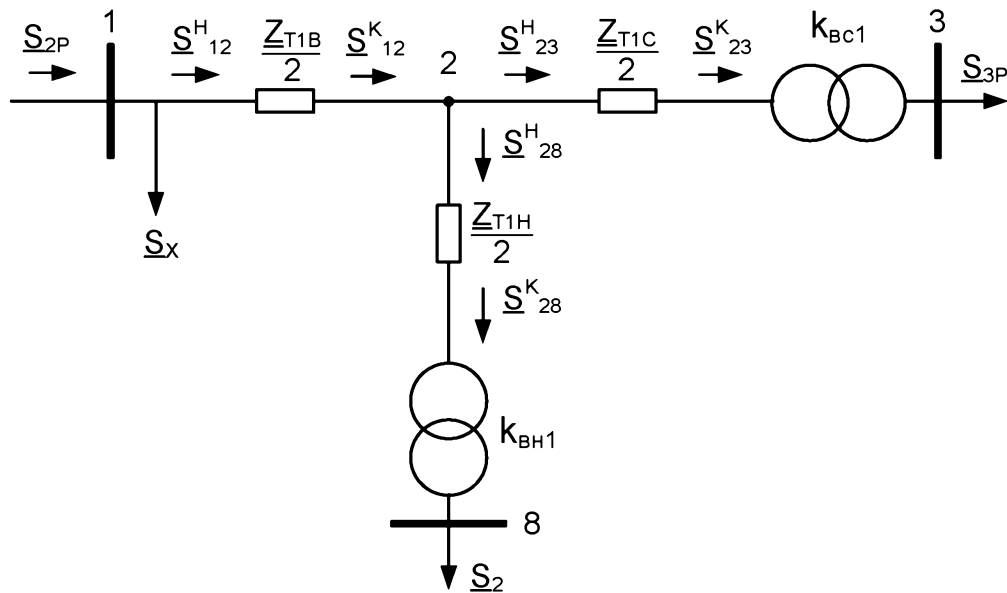


Рисунок 1.7 – Схема заміщення підстанції ПС-1

Визначаємо потужність  $\underline{S}_{28}^K$ :

$$\underline{S}_{28}^K = \underline{S}_2 = 30 + j20 \text{ МВА.}$$

Визначаємо потужність  $\underline{S}_{28}^H$ :

$$\underline{S}_{28}^H = \underline{S}_{28}^K + \frac{(P_{28}^K)^2 + (Q_{28}^K)^2}{U_H^2} \cdot \frac{\underline{Z}_{TH}}{2} = 30,04 + j21,2 \text{ МВА.}$$

Визначаємо потужність  $\underline{S}_{23}^K$ :

$$\underline{S}_{23}^K = \underline{S}_{3P} = 5,8 + j9,52 \text{ МВА.}$$

Визначаємо потужність  $\underline{S}_{23}^H$ :

$$\underline{S}_{23}^H = \underline{S}_{23}^K + \frac{(P_{23}^K)^2 + (Q_{23}^K)^2}{U_H^2} \cdot \frac{\underline{Z}_{TC}}{2} = 5,8 + j9,52 \text{ МВА}$$

Змн.	Арк.	№ докум.	Підпис	Дата

Визначаємо потужність  $\underline{S}_{12}^K$ :

$$\underline{S}_{12}^K = \underline{S}_{23}^H + \underline{S}_{28}^H = 35,84 + j30,7 \text{ МВА.}$$

Визначаємо потужність  $\underline{S}_{12}^H$ :

$$\underline{S}_{12}^H = \underline{S}_{12}^K + \frac{(P_{12}^K)^2 + (Q_{12}^K)^2}{U_H^2} \cdot \frac{\underline{Z}_{TB}}{2} = 35,9 + j33,9 \text{ МВА.}$$

Визначаємо потужність  $\underline{S}_{2P}$ :

$$\underline{S}_{2P} = \underline{S}_{12}^H + 2\underline{S}_X - j\left(\frac{Q_{61} + Q_{B1}}{2}\right) = 36,0 + j33,1 \text{ МВА.}$$

## 1.6 Розрахунок потужностей на ділянках мережі з урахуванням втрат потужності в трансформаторах

Визначаємо потужності на ділянках розімкнутої мережі (рис. 1.3) з урахуванням втрат потужності в трансформаторах.

$$\underline{S}_{A6} = \frac{\underline{S}_{1P}(l_{61} + l_{1B}) + \underline{S}_{2P}(l_{1B})}{l_{A6} + l_{1B} + l_{61}} = 57,0 + j67,7 \text{ МВА;}$$

$$\underline{S}_{61} = \underline{S}_{A6} - \underline{S}_{1P} = -3,37 - j8,82 \text{ МВА;}$$

$$\underline{S}_{B1} = \frac{\underline{S}_{2P}(l_{61} + l_{A6}) + \underline{S}_{1P}(l_{A6})}{l_{A6} + l_{61} + l_{1B}} = 39,4 + j41,96 \text{ МВА.}$$

Складемо рівняння балансу потужності

$$\underline{S}_{A6} + \underline{S}_{B1} = \underline{S}_{1P} + \underline{S}_{2P};$$

$$96,4 + j109,6 = 96,4 + j109,5.$$

Баланс потужності зійшовся.

Змн.	Арк.	№ докум.	Підпис	Дата	БР 5.6.14 1.254 П3	Аркуш
						20

Потужність ділянки 6-1 вийшла негативною, тому точка 6 є точкою потокорозділу. Складемо схему заміщення електричної мережі з урахуванням потокорозділу.

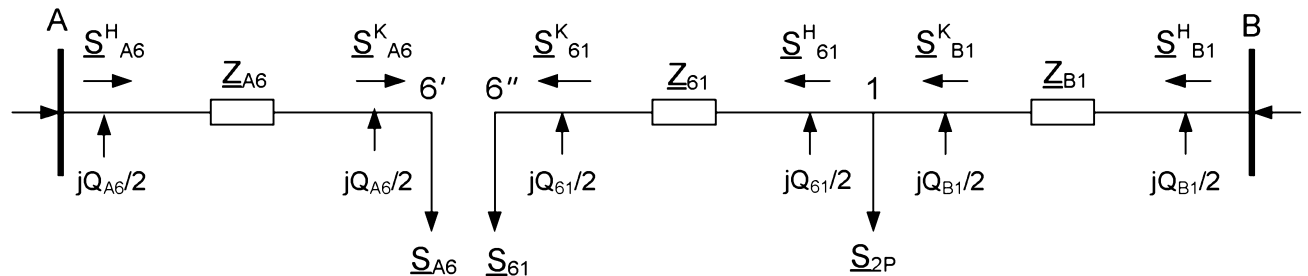


Рисунок 1.7 – Розімкнута мережа

Визначається потокорозподіл в двох схемах заміщення, приведених на рис. 1.7, з урахуванням втрат в лініях.

Визначимо потужність вузла  $\underline{S}_{A6}$ :

$$\underline{S}_{A6}^K = \underline{S}_{A6} - \frac{jQ_{A6}}{2} = 57 + j67,21 \text{ МВА};$$

$$\underline{S}_{A6}^H = \underline{S}_{A6}^K + \frac{(\underline{P}_{A6}^K)^2 + (\underline{Q}_{A6}^K)^2}{U_H^2} \cdot \underline{Z}_{A6} = 60,07 + j75,17 \text{ МВА};$$

$$\underline{S}_{61}^K = \underline{S}_{61} - \frac{jQ_{61}}{2} = 3,38 + j8,16 \text{ МВА};$$

$$\underline{S}_{61}^H = \underline{S}_{61}^K + \frac{(\underline{P}_{61}^K)^2 + (\underline{Q}_{61}^K)^2}{U_H^2} \cdot \underline{Z}_{61} = 3,42 + j8,26 \text{ МВА};$$

$$\underline{S}_{B1}^K = \underline{S}_{61}^H + \underline{S}_{2P} - \frac{jQ_{61}}{2} - \frac{jQ_{B1}}{2} = 39,42 + j40,07 \text{ МВА};$$

$$\underline{S}_{B1}^H = \underline{S}_{B1}^K + \frac{(\underline{P}_{B1}^K)^2 + (\underline{Q}_{B1}^K)^2}{U_H^2} \cdot \underline{Z}_{B1} = 41,08 + j43,3 \text{ МВА}.$$

Розрахункова потужність вузла А  $\underline{S}_A$ :

$$\underline{S}_A = \underline{S}_{A6}^H + \underline{S}_{B1}^H = 101,15 + j118,47 \text{ МВА}$$

Змн.	Арк.	№ докум.	Підпис	Дата

## 1.7 Визначення напруг у вузлах навантаження

Для того, щоб забезпечити виконання умови допустимого спадання напруги на самому віддаленому споживачеві електроенергії, приймаємо напругу на джерелі живлення на 10% більше номінальної напруги мережі:  $U_A = 121$  кВ.

Визначимо напруги вузла 6':

$$U_{6'} = \sqrt{\left( U_A - \frac{P_{A6}^H R_{A6} + Q_{A6}^H X_{A6}}{U_A} \right)^2 + \left( \frac{P_{A6}^H X_{A6} - Q_{A6}^H R_{A6}}{U_A} \right)^2} = 109,9 \text{ кВ.}$$

Визначимо напругу вузла 1:

$$U_1 = \sqrt{\left( U_A - \frac{P_{A1}^H R_{A1} + Q_{A1}^H X_{A1}}{U_A} \right)^2 + \left( \frac{P_{A1}^H X_{A1} - Q_{A1}^H R_{A1}}{U_A} \right)^2} = 111,9 \text{ кВ.}$$

Визначимо напруги вузла 6" :

$$U_{6''} = \sqrt{\left( U_1 - \frac{P_{61}^H R_{61} + Q_{61}^H X_{61}}{U_1} \right)^2 + \left( \frac{P_{61}^H X_{61} - Q_{61}^H R_{61}}{U_1} \right)^2} = 110,5 \text{ кВ.}$$

Приймаємо напругу вузла 6 у замкненій мережі як середнє значення знайдених напруг розділеного вузла 6  $U_6 = 110,2$  кВ.

Визначимо напруги на низькій стороні трансформаторних підстанцій, як приведені до високої сторони.

ПС-1.

Визначимо напругу вузла 7, приведену до сторони ВН:

$$U_7^B = \sqrt{\left( U_6 - \frac{P_{67}^H R_{67} + Q_{67}^H X_{67}}{U_6} \right)^2 + \left( \frac{P_{67}^H X_{67} - Q_{67}^H R_{67}}{U_6} \right)^2} = 96,9 \text{ кВ.}$$

Змн.	Арк.	№ докум.	Підпис	Дата

Визначимо дійсну напругу вузла 7:

$$U_7 = \frac{U_7^B}{\frac{U_B}{U_H}} = 8,41 \text{ кВ.}$$

ПС-2.

Визначимо напруги вузла 2:

$$U_2 = \sqrt{\left( U_1 - \frac{P_{12}^H R_{12} + Q_{12}^H X_{12}}{U_1} \right)^2 + \left( \frac{P_{12}^H X_{12} - Q_{12}^H R_{12}}{U_1} \right)^2} = 101,5 \text{ кВ.}$$

Визначимо напругу вузла 3, приведену до сторони ВН:

$$U_3^B = \sqrt{\left( U_2 - \frac{P_{23}^H R_{23} + Q_{23}^H X_{23}}{U_2} \right)^2 + \left( \frac{P_{23}^H X_{23} - Q_{23}^H R_{23}}{U_2} \right)^2} = 101,44 \text{ кВ.}$$

Визначимо дійсну напругу вузла 3:

$$U_3 = \frac{U_3^B}{\frac{U_B}{U_C}} = 33,96 \text{ кВ кВ.}$$

Визначимо напругу вузла 8, приведену до сторони ВН:

$$U_8^B = \sqrt{\left( U_2 - \frac{P_{28}^H R_{28} + Q_{28}^H X_{28}}{U_2} \right)^2 + \left( \frac{P_{28}^H X_{28} - Q_{28}^H R_{28}}{U_2} \right)^2} = 96,8 \text{ кВ.}$$

Визначимо дійсну напругу вузла 8:

Змн.	Арк.	№ докум.	Підпис	Дата

БР 5.6.14 1.254 П3

Аркуш

23

$$U_8 = \frac{U_8^B}{\frac{U_B}{U_H}} = 9,25 \text{ кВ.}$$

ПС-3.

Визначимо напруги вузла 4:

$$U_4 = \sqrt{\left( U_3 - \frac{P_{43}^H R_{43} + Q_{43}^H X_{43}}{U_3} \right)^2 + \left( \frac{P_{43}^H X_{43} - Q_{43}^H R_{43}}{U_3} \right)^2} = 30,2 \text{ кВ.}$$

Визначимо напругу вузла 5, приведену до сторони ВН:

$$U_5^B = \sqrt{\left( U_4 - \frac{P_{45}^H R_{45} + Q_{45}^H X_{45}}{U_4} \right)^2 + \left( \frac{P_{45}^H X_{45} - Q_{45}^H R_{45}}{U_4} \right)^2} = 27,16 \text{ кВ.}$$

Визначимо дійсну напругу вузла 5:

$$U_5 = \frac{U_5^B}{\frac{U_B}{U_H}} = 7,76 \text{ кВ.}$$

## 1.8 Регулювання напруг у вузлах навантаження

Регулювання напруг зробимо за допомогою РПН трансформаторів і шляхом підключення конденсаторних батарей.

Встановлюємо конденсаторні батареї в наступних вузлах:

- 6 – КСКГ-1,05-125 77 Мвар; 7 – КСКГ-1,05-125 6,5 Мвар;
- 4 – КСКГ-1,05-125 11,2 Мвар.

На трансформаторних підстанціях РПН необхідно поставити в наступні положення:

Змн.	Арк.	№ докум.	Підпис	Дата	БР 5.6.141.254 П3	Аркуш
						24

Режим	ПС-1	ПС-2	ПС-3
Максимальний	-4	-1	-9

Результати розрахунків напруг у вузлах схеми при максимальному навантаженні та встановлених конденсаторних батареях наведені в табл. 1.9.

Таблиця 1.9 – Результати розрахунків напруг у вузлах навантаження при максимальних навантаженнях

Розрахункові параметри	Вузол 7 ( $S_1$ )	Вузол 8 ( $S_2$ )	Вузол 5 ( $S_3$ )
Розрахункові напруги, кВ	8,41	9,26	7,76
Відхилення від номінальної напруги, %	15,85	7,4	22,39
Напруги після регулювання, кВ	9,738	10,19	9,26
Відхилення від номінальної напруги після регулювання, %	2,62	1,9	7,4

Технічні характеристики для конденсаторних батарей наведені в табл. 1.10.

Таблиця 1.10 – Технічні дані конденсаторних батарей [4]

Показники	Номінальна напруга батареї, кВ		
	10	35	110
Кількість паралельних гілок	4	4	4
Кількість паралельно включених конденсаторів однієї гілки	7	24	72
Загальна кількість конденсаторів у батареї	84	288	861
Установлена потужність батареї	5/10,5	17,3/36	52/108
Потужність, видавана батареєю, МВАр, при напрузі:			
$1,1U_{\text{HOM}}$	3,8/7,8	13,5/28	44,5/93
$U_{\text{HOM}}$	3,2/6,5	11,2/23,2	36,8/77

*Примітка.* У чисельнику наведені дані для батарей з конденсаторами типу КС2-1,05-60, у знаменнику – КСКГ-1,05-125.

## 2 РОЗРАХУНОК ЕЛЕКТРИЧНОЇ ЧАСТИНИ ПІДСТАНЦІЇ

Згідно із завданням, необхідно розрахувати двохтрансформаторну підстанцію ПС-1, до якої підключено навантаження потужністю  $S_1 = 60 + j50$  МВА. На підстанції встановлені трансформатори типу ТДЦ-80000/110.

### 2.1 Вибір силових трансформаторів та їх перевірка за графіком навантаження

$$S_{\text{нав}} = \sqrt{P_{\text{нав}}^2 + Q_{\text{нав}}^2} = \sqrt{60^2 + 50^2} = 78,1 \text{ МВА}$$

$$S_{\text{тр}} = \frac{S_{\text{нав}}}{K_{\text{ав}}} = 78,1 / 1,4 = 55,79 \text{ МВА}$$

де  $K_{\text{ав}} = 1,4$ .

$$K_3 = \frac{S_{\text{нав}}}{2 \cdot S_{\text{тр.ном}}} = 0,49$$

Для підстанцій були обрані трансформатори потужності  $S = 80$  МВА типу ТДЦ-80000/110.

Перевіримо трансформатори за добовим графіком навантаження табл.2.1.

Таблиця 2.1 – Добове навантаження підстанції

t,г	0	2	4	6	8	10	12	14	16	18	20	22
S, %	50	55	60	90	90	80	95	95	110	125	110	105
S, МВА	39,1	43	46,9	70,3	70,3	62,5	74,2	74,2	85,9	97,6	85,9	82

Для перевірки правильності вибору трансформатора реальний графік навантаження перетворимо в двоступінчастий. Початкове навантаження еквівалентного графіка визначається за формулою [10]:

Змн.	Арк.	№ докум.	Підпис	Дата	БР 5.6.141.254 П3	Аркуш
						26

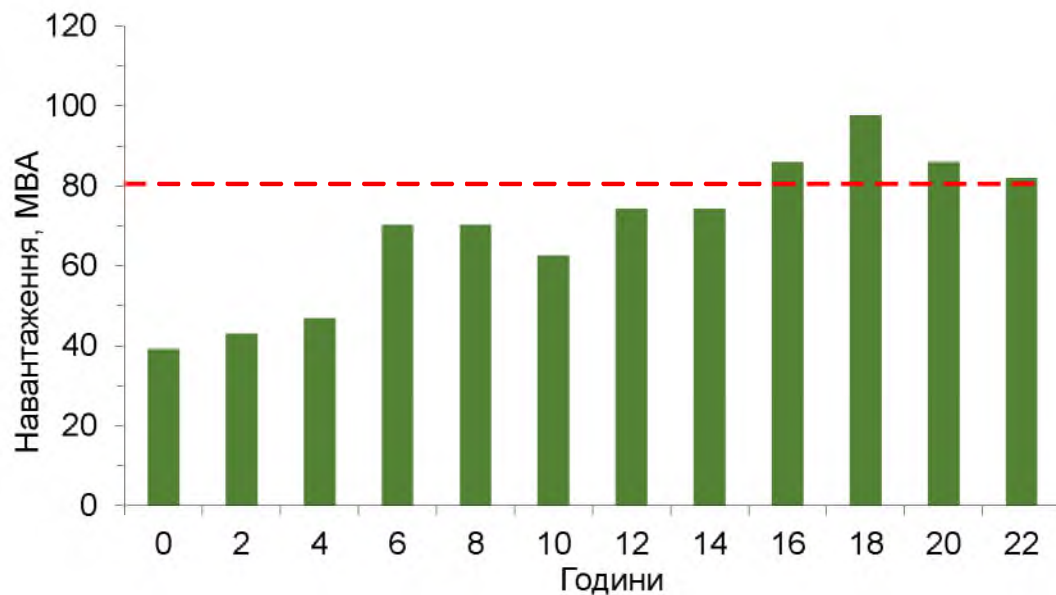


Рисунок 2.1 – Графік навантаження підстанцій

$$K_1 = \frac{1}{S_{\text{НОМ}}} \cdot \sqrt{\frac{S_1^2 t_1 + S_2^2 t_2 + \dots + S_n^2 t_n}{t_1 + t_2 + \dots + t_n}} = \\ = \frac{1}{80} \cdot \sqrt{\frac{39,1^2 \cdot 2 + 43^2 \cdot 2 + 46,9^2 \cdot 2 + 70,3^2 \cdot 2 + 70,3^2 \cdot 2 + 62,5^2 \cdot 2 + 74,2^2 \cdot 2 + 74,2^2 \cdot 2}{2 \cdot 8}} = 0,658$$

де  $S_1, S_2, \dots, S_n$  – власне навантаження першого; другого; n-го ступеня графіка навантаження, розміщеного нижче лінії номінальної потужності трансформатора;

$t_1, t_2, \dots, t_n$  – тривалість ступеня, година.

Аналогічно визначається другий ступінь еквівалентного графіка, але при цьому беруться ступені, розміщені вище лінії номінальної потужності трансформатора

$$K_2 = \frac{1}{S_{\text{НОМ}}} \cdot \sqrt{\frac{S_1^2 t_1 + S_2^2 t_2 + \dots + S_n^2 t_n}{t_1 + t_2 + \dots + t_n}} = \\ = \frac{1}{80} \cdot \sqrt{\frac{85,9^2 \cdot 2 + 97,6^2 \cdot 2 + 85,9^2 \cdot 2 + 82^2 \cdot 2}{2 \cdot 4}} = 0,991$$

де  $S_1, S_2, \dots, S_n$  – навантаження вище лінії номінальної потужності трансформатора.

Змн.	Арк.	№ докум.	Підпис	Дата	БР 5.6.14.1.254 П3	Аркуш
						27

Максимальне перевантаження трансформатора складає

$$K_{\text{MAX}} = \frac{S_{\text{MAX}}}{S_{\text{НОМ}}} = 97,6 / 80 = 1,22$$

де  $S_{\text{MAX}}$  – максимальне навантаження трансформатора за графіком навантаження.

$$K'_2 = 0,9 \cdot K_{\text{MAX}} = 0,9 \cdot 1,22 = 1,1.$$

Порівнююмо попереднє значення  $K_2$  і  $K'_2$  для подальших розрахунків приймаємо більше з них  $K_2 = 0,991$  та  $K'_2 = 1,1$ ,  $K'_2 > K_2$  отже приймаємо  $K_2 = 1,1$ .

За ГОСТом 14209-85 з урахуванням еквівалентної температури зимового періоду  $t = 10^{\circ}\text{C}$  і часу перевантаження  $t_{\text{перев}} = 8$  год, знаходимо значення перевантаження допустиме  $K_{2\text{гост}} = 1,6$ .

Порівнююмо значення  $K_2$  за ГОСТом і реальне.  $K_{2\text{гост}} = 1,6$  і  $K_2 = 1,1$ .

$K_{2\text{гост}} > K_2$ . Значення  $K_2$  за ГОСТом більше, ніж реальне, значить трансформатор обраний правильно.

Висновок:

Трансформатор ТДЦ-80000/110 у випадку виходу з ладу 1-го трансформатора 2-й трансформатор забезпечить живлення споживачів без обмеження по часу та по потужності.

## 2.2 Розрахунок струмів короткого замикання

Визначення величини струмів короткого замикання необхідне для правильного вибору устаткування на стороні 110 кВ і 10 кВ. Вихідна однолінійна електрична схема електромережі наведена на рис. 2.2. Підстанція живиться за двома тупиковими лініями: схеми заміщення для розрахунку струмів короткого замикання наведена на рис. 2.3.

Змн.	Арк.	№ докум.	Підпис	Дата	БР 5.6.141.254 П3	Аркуш
						28

Розрахунок струмів короткого замикання виконаємо в іменованій системі одиниць. Потужність короткого замикання на шинах 110 кВ центра живлення складає  $S_C = 3000$  МВА.

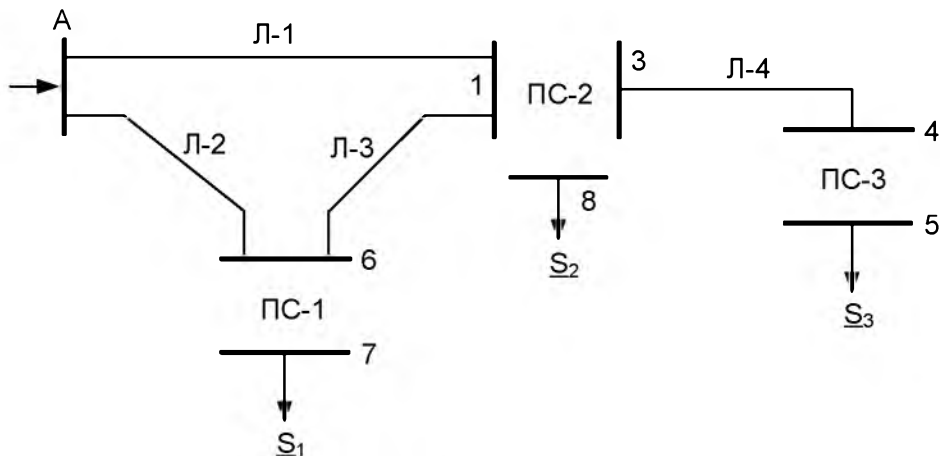


Рисунок 2.2 – Вихідна однолінійна електрична схема електромережі

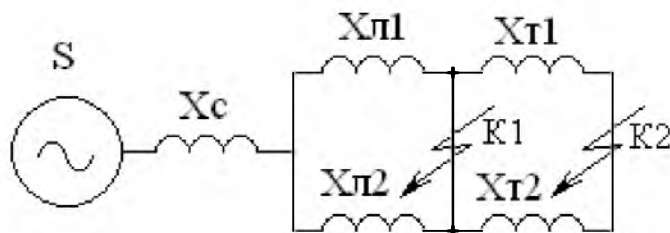


Рисунок 2.3 – Схема заміщення для розрахунку струмів короткого замикання

Опір системи дорівнює

$$X_c = \frac{U_{\text{л}}^2}{S_c} = \frac{110^2}{3000} = 4,03 \text{ Ом.}$$

Опори працюючих ліній:

Лінія	Л-1	Л-2	Л-3
Довжина, км	30	30	35
Марка проводу	AC-185/29	AC-185/29	AC-185/29
$X_{\text{л}}$ , Ом	12,39	12,39	14,455

$$X_{\text{л1}} = X_{\text{л-1}} + X_{\text{л-3}} = 26,845 \text{ Ом}$$

$$X_{\text{л2}} = X_{\text{л-2}} = 12,39 \text{ Ом}$$

$$X_{\text{л}} = \frac{X_{\text{л1}} \cdot X_{\text{л2}}}{X_{\text{л1}} + X_{\text{л2}}} = (26,845 \cdot 12,39) / (26,845 + 12,39) = 8,48 \text{ Ом.}$$

Змн.	Арк.	№ докум.	Підпис	Дата	БР 5.6.141.254 П3	Аркуш

## Опір трансформаторів

$$X_T = \frac{U_{k\%} U_H^2}{100 \cdot S_H} = (10,5 \cdot 110^2) / (100 \cdot 80) = 15,9 \text{ Ом.}$$

Періодична складова СКЗ у точці К<sub>1</sub>:

$$I_{K1} = \frac{U_L}{\sqrt{3}(X_c + X_L)} = 110000 / (1,73 \cdot (12,39 + 8,48)) = 5,077 \text{ кА.}$$

Періодична складова СКЗ у точці К<sub>2</sub> приведена до напруги вищої сторони

$$I_{K2}^B = \frac{U_L}{\sqrt{3} \left( X_c + X_L + \frac{X_T}{2} \right)} = 110000 / (1,73 \cdot (12,39 + 8,48 + 15,9/2)) = 3,104 \text{ кА.}$$

Реальний струм КЗ у точці К<sub>2</sub>:

$$I_{K2} = I_{K2}^B \frac{U_B}{U_H} = I_{K2}^B \cdot (110 / 10) = 34,14 \text{ кА.}$$

Ударний струм:

- у точці К<sub>1</sub>:  $i_{y_{d1}} = \sqrt{2} \cdot 1,61 \cdot I_{K1} = 11,56 \text{ кА};$

- у точці К<sub>2</sub>:  $i_{y_{d2}} = \sqrt{2} \cdot 1,61 \cdot I_{K2} = 77,73 \text{ кА.}$

Допустимо, що амплітуда ЕДС і періодична складова ТКЗ незмінні за часом, тому через час, який дорівнює часу відключення

$I_{n\tau 1} = I_{K1} = 5,077 \text{ кА}$  для точки  $K_1$ ;

$I_{n\tau} = I_{K2} = 34,14 \text{ кА}$  для точки  $K_2$ .

Аперіодична складова ТКЗ до моменту розбіжності контактів вимикача

Змн.	Арк.	№ докум.	Підпис	Дата	БР 5.6.14 1.254 П3	Аркуш
						30

$$i_{a1} = \sqrt{2} \cdot I_{K1} \cdot e^{-\frac{t}{T_a}} = \sqrt{2} \cdot 5,077 \cdot e^{-\frac{0,06}{0,025}} = 0,651 \text{ кA}$$

$$i_{a2} = \sqrt{2} \cdot I_{K2} \cdot e^{-\frac{t}{T_a}} = \sqrt{2} \cdot 34,14 \cdot e^{-\frac{0,1}{0,05}} = 6,534 \text{ кA}$$

де  $T_a$  – постійна часу загасання аперіодичної складової для  $K_1$  –  $T_a = 0,025 \text{ с}$ ,  
для  $K_2$  –  $T_a = 0,05 \text{ с}$ .

Інтеграл Джоуля:

$$\text{для } K_1 B_R = I_{K1}^2(t + T_a) = I_{K1}^2(0,06 + 0,025) = 5,077^2 \cdot 0,085 = 2,191 \text{ кA}^2 \cdot \text{с}$$

$$\text{для } K_2 B_R = I_{K2}^2(t + T_a) = I_{K2}^2(0,1 + 0,05) = 34,14^2 \cdot 0,15 = 174,83 \text{ кA}^2 \cdot \text{с}$$

Таблиця 2.2 – Значення струмів короткого замикання

Струми короткого замикання	СКЗ у початковий момент часу	Ударний СКЗ $i_y$ , кA	Аперіод. складова СКЗ, $i_a$ кA	Інтеграл Джоуля $B_K$ , кA $^2 \cdot$ с
Шини 110 кВ ( $K_1$ )	5,077	11,56	0,651	2,191
Шини 10 кВ ( $K_2$ )	34,14	77,73	6,534	174,83

### 2.3 Вибір захисної та комутаційної апаратури

Високовольтні електричні апарати вибираються за умовою тривалого режиму роботи і перевіряються за умовами коротких замикань. При цьому для апаратів виконується:

- 1) вибір за напругою;
- 2) вибір за нагріванням при тривалих струмах;
- 3) перевірка на електродинамічну стійкість;
- 4) перевірка на термічну стійкість;

Вибору підлягають:

- вимикачі на боці вищої напруги;
- вступні вимикачі на боці 10 кВ;
- секційні вимикачі на боці 10 кВ;

Змн.	Арк.	№ докум.	Підпис	Дата	БР 5.6.141.254 П3	Аркуш
						31

- вимикачі ліній, що відходять, 10 кВ; роз'єднувачі вищої напруги;
- трансформатори струму і напруги 110 кВ і 10 кВ;
- ошиновка розподільних пристройів 110 кВ і 10 кВ.

Для вибору апаратів і струмоведучих частин необхідно визначити струми нормального і післяаварійного режимів. Визначення струмів виконується для випадку установки на підстанції силового трансформатора. Розрахованого відповідно до графіка навантаження підстанції.

Струм на боці 110 кВ:

$$I_{\max}^{\text{BH}} = \frac{1,4 \cdot S_{\text{ном}}}{\sqrt{3} \cdot U_{\text{BH}}} = (1,4 \cdot 80) / (1,73 \cdot 110) = 588 \text{ A.}$$

Струм у колі ввідних вимикачів на стороні 10 кВ:

$$I_{\max}^{\text{HH}} = \frac{1,4 \cdot S_{\text{ном}}}{\sqrt{3} \cdot U_{\text{HH}}} = (1,4 \cdot 80) / (1,73 \cdot 10) = 6,47 \text{ kA.}$$

Струм у колі секційного вимикача:

$$I_{\max}^{\text{CB}} = \frac{1,4 \cdot S_{\text{ном}}}{\sqrt{3} \cdot U_{\text{HH}} \cdot 2} = (1,4 \cdot 80) / (1,73 \cdot 10 \cdot 2) = 3,23 \text{ kA.}$$

Струм у колі лінії, що відходить:

$$I_{\max}^{\text{LB}} = \frac{1,4 \cdot S_{\text{ном}}}{\sqrt{3} \cdot U_{\text{HH}} \cdot 10} = (1,4 \cdot 80) / (1,73 \cdot 10 \cdot 10) = 647 \text{ A.}$$

Для встановлення на стороні вищої напруги приймаємо вимикачі типу ЯЭ-110Л-23(13)У4. Вибір вимикачів наведений у табл. 2.3.

Змн.	Арк.	№ докум.	Підпис	Дата

БР 5.6.141.254 П3

Аркуш

32

Таблиця 2.3 – Вибір вимикача на стороні 110 кВ

Умова вибору	Розрахункові значення	Каталожні значення
$U_C \leq U_H$	110 кВ	110 кВ
$I_{расч} \leq I_{ном}$	588 А	1250 А
$I_{PO} \leq I_{npCKB}$	5,077 кА	50 кА
$I_{y\delta} \leq I_{CKB}$	11,56 кА	125 кА
$I_{nt} \leq I_{OmkHom}$	5,077 кА	100 кА
$I_{at} \leq I_{a\_ном}$	0,651 кА	40 кА
$B_K \leq I_T^2 t_r$	2,191 кА <sup>2</sup> ·с	7500 кА <sup>2</sup> ·с

Для встановлення на стороні низької напруги приймаємо вимикачі типу МГУ-20-90/9500УЗ. Вибір вимикачів наведений у табл. 2.4.

Таблиця 2.4 – Вибір вимикачів у колі трансформатора на стороні 10 кВ

Умова вибору	Розрахункові значення	Каталожні значення
$U_C \leq U_H$	10 кВ	20 кВ
$I_{расч} \leq I_{ном}$	6,47 кА	9500 А
$I_{PO} \leq I_{npCKB}$	34,14 кА	105 кА
$I_{y\delta} \leq I_{CKB}$	77,73 кА	300 кА
$I_{nt} \leq I_{OmkHom}$	34,14 кА	90 кА
$I_{at} \leq I_{a\_ном}$	6,534 кА	30 кА
$B_K \leq I_T^2 t_r$	174,83 кА <sup>2</sup> ·с	32400 кА <sup>2</sup> ·с

Для установки в якості секційного на стороні нижчої напруги приймаємо вимикачі типу ВЭ-10-3600-31,5-УЗ. Вибір вимикачів наведено в табл. 2.5.

Таблиця 2.5 – Вибір секційного вимикача на боці 10 кВ

Умова вибору	Розрахункові значення	Каталожні значення
$U_C \leq U_H$	10 кВ	10 кВ
$I_{расч} \leq I_{ном}$	3,23 кА	3600 А
$I_{PO} \leq I_{npCKB}$	34,14 кА	31,5 кА
$i_y \leq I_{npCKB}$	77,73 кА	80 кА
$I_{nt} \leq I_{OmkHom}$	34,14 кА	31,5 кА
$I_{at} \leq I_{a\_ном}$	6,534 кА	31,5 кА
$B_K \leq I_T^2 t_r$	174,83 кА <sup>2</sup> ·с	3969 кА <sup>2</sup> ·с

Для встановлення на стороні нижчої напруги в лініях, що відходять, приймаємо вакуумні вимикачі типу ВВЭ-10-31,5/1000УЗ. Вибір вимикачів наведено в табл. 2.6.

Таблиця 2.6 – Вибір вимикачів на лінію, що відходить 10 кВ

Умова вибору	Розрахункові значення	Каталожні значення
$U_C \leq U_H$	10 кВ	10 кВ
$I_{расч} \leq I_{ном}$	647 А	1000 А
$I_{PO} \leq I_{npCKB}$	34,14 кА	31,5 кА
$i_y \leq I_{npCKB}$	77,73 кА	80 кА
$I_{nt} \leq I_{OmkNom}$	34,14 кА	31,5 кА
$I_{at} \leq I_{a\text{ nom}}$	6,534 кА	31,5 кА
$B_K \leq I_T^2 t_r$	174,83 $\text{kA}^2 \cdot \text{s}$	2977 $\text{kA}^2 \cdot \text{s}$

Для встановлення на стороні вищої напруги приймаємо роз'єднувачі з одним або двома комплектами заземлюючих ножів типу РНДЗ.1-110/1000 ХЛ1. Вибір роз'єднувачів наведений у табл. 2.7.

Таблиця 2.7 – Вибір роз'єднувачів 110 кВ

Умова вибору	Розрахункові значення	Каталожні Значення
$U_C \leq U_H$	110 кВ	110 кВ
$I_{расч} \leq I_{ном}$	588 А	1000 А
$i_y \leq I_{npCKB}$	11,56 кА	80 кА
$B_K \leq I_T^2 t_r$	2,191 $\text{kA}^2 \cdot \text{s}$	992 $\text{kA}^2 \cdot \text{s}$

## 2.4 Вибір збірних шин

Вибрать збірні шини 110 кВ та струмопровідні елементи в блоці від збірних шин до виводів блочного трансформатора. Трансформатор ТДЦ-80000/110.

Оскільки збірні шини за економічною густиною струму не вибираються, приймаємо переріз за допустимим струмом при максимальному навантаженні на шинах, що відповідає загальному навантаженню.

Змн.	Арк.	№ докум.	Підпис	Дата	БР 5.6.141.254 П3	Аркуш
						34

$$I_{\text{норм}} = \frac{P_{\text{ном}}}{\sqrt{3} \cdot U_{\text{ном}}} = 78,1 / (1.73 \cdot 110) = 410 \text{ A.}$$

$$I_{\text{макс}} = I_{\text{норм}} = 410 \text{ A.}$$

За таблицею довідника приймаємо до встановлення провід 1xAC240/39 ( $q = 240 \text{ мм}^2$ ,  $d = 21,6 \text{ мм}$ ,  $I_{\text{доп}} = 610 \text{ A}$ ). Фази розташовані горизонтально на відстані 300 см. Тоді

$$I_{\text{доп}} > I_{\text{макс}}, \\ 610 \text{ A} > 410 \text{ A.}$$

Перевірка шин на електродинамічну стійкість не виконується, оскільки  $I_{\text{п.0}} < 20 \text{ кA}$ .

Перевірка на термічну стійкість також не виконується, оскільки шини виконані голими проводами на відкритому повітрі.

Перевірка за умовами коронування в даному випадку могла б не проводитися, оскільки згідно ПУЕ мінімальний переріз для повітряних ліній 110 кВ становить  $70 \text{ мм}^2$ . Враховуючи, що на ВРП відстань між проводами менша, ніж на повітряних лініях, проводиться перевірочний розрахунок.

Визначаємо початкову критичну напруженість електричного поля:

$$E_0 = 30,3 \cdot m \cdot \left( 1 + \frac{0,299}{\sqrt{r_0}} \right),$$

де  $m$  – коефіцієнт, який враховує шорсткість поверхні проводу (для багатопровідниківих проводів  $m = 0,82$ );  $r_0$  – радіус проводу,  $r_0 = 1,08 \text{ см}$ .

$$E_0 = 30,3 \cdot 0,82 \cdot \left( 1 + \frac{0,299}{\sqrt{1,08}} \right) = 32 \text{ кВ/см}$$

Визначаємо напруженість електричного поля навколо проводу

Змн.	Арк.	№ докум.	Підпис	Дата	БР 5.6.141.254 П3	Аркуш
						35

$$E = \frac{0.354 \cdot U}{r_0 \cdot \lg\left(\frac{D_{sep}}{r_0}\right)},$$

де  $U$  – лінійна напруга, кВ;

$D_{sep}$  – середня геометрична відстань між проводами фаз, см.

При горизонтальному розташуванні фаз

$$D_{sep} = 1.26 \cdot D = 100,8,$$

де  $D$  – відстань між сусідніми фазами, для  $U_h=110$  кВ  $D = 80$  см.

$$E = (0.354 \cdot 121) / (1.08 \cdot \lg(100,8/1,08)) = 20,13 \text{ кВ/см.}$$

В останньому виразі лінійна напруга прийнята рівною 121 кВ, оскільки на шинах електростанції підтримується напруга 1,1  $U_{nom}$ .

Перевірка виконується за наступною умовою: проводи не будуть коронувати, якщо

$$1,07 \cdot E \leq 0,9 \cdot E_0,$$

$$1,07 \cdot 20,13 = 21,5 < 0,9 \cdot 32 = 28,8 \text{ кВ/см.}$$

Умова виконується, тому провід 1xAC240/39 остаточно приймаємо до використання.

### Вибір жорстких шин

Приймаємо температуру навколошнього середовища: 30°C.

Обираємо алюмінієві шини коробчастого перерізу розташовані горизонтально і жорстко закріплені одна відносно одної (2x200x90x10 мм, перерізом 2x3435 мм<sup>2</sup>, I<sub>доп</sub>=7550А).

Змн.	Арк.	№ докум.	Підпис	Дата

БР 5.6.14.1.254 П3

Аркуш

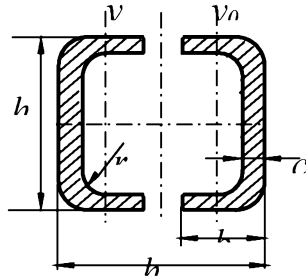


Рисунок 2.4 – Шини коробчастого перерізу

$$v_{\text{доп}} = 70^{\circ}\text{C}, v_{\text{факт}} = 30^{\circ}\text{C}, v_{\text{норм}} = 25^{\circ}\text{C}.$$

Умова за допустимим струмом:

$$I_{\text{max}}^{\text{HH}} = 6470 \text{ A} \leq I_{\text{доп}} = 7550 \text{ A},$$

умова виконується.

Припустимий струм з урахуванням поправки на температуру навколишнього середовища:

$$I'_{\text{don}} = I_{\text{don}} \cdot \sqrt{\frac{v_{\text{доп}} - v_{\text{факт}}}{v_{\text{доп}} - v_{\text{норм}}}} = 7550 \cdot \sqrt{\frac{70 - 30}{70 - 25}} = 7118 \text{ A},$$

де  $v_{\text{доп}}$  – допустима температура шини;

$v_{\text{норм}}$  – номінальна температура навколишнього середовища.

$$6470 \text{ A} < 7118 \text{ A}.$$

Мінімальний термічно стійкий переріз:

$$q_{\text{min.don}} = \frac{\sqrt{B_R}}{C} = \frac{\sqrt{174,83}}{90 \cdot 10^{-3}} = 146,9 \text{ mm}^2.$$

Змн.	Арк.	№ докум.	Підпис	Дата

Оскільки  $q_{\min. \text{oon}} = 146,9 \leq 2x3435 \text{ мм}^2$  термічна стійкість шин забезпечується.

Тверді шини повинні бути перевірені на динамічні дії струмів КЗ і на можливість виникнення резонансних явищ. Зазначені явища не виникають при КЗ, якщо власна частота коливань шини менше 30 і більше 200 Гц. Частота власних коливань для алюмінієвих шин визначається за формулою

$$f_0 = \frac{173,2}{l^2} \cdot \sqrt{\frac{J_{y0-y0}}{2 \cdot q_{\text{шини}}}} = \frac{173,2}{2^2} \cdot \sqrt{\frac{4220}{2 \cdot 34,35}} = 339 \text{ Гц}$$

де  $l$  – довжина прольоту між ізоляторами  $l=2$  м, м;

$J_{y0-y0}$  – момент інерції поперечного перерізу двох зрощених шин,  $\text{см}^4$ ;

$q_{\text{шини}}$  – поперечний переріз однієї шини,  $\text{см}^2$ .

Оскільки  $f_0 = 339 \geq 200$  Гц, то механічний резонанс виключається.

Момент опору перерізу для двох зрощених шин:

$$\sigma_{\phi, \text{max}} = 1,76 \cdot \frac{i_{\text{уд}}^2 \cdot l^2}{a \cdot W_{y0-y0}} \cdot 10^{-8} = 1,76 \cdot \frac{77,73^2 \cdot 2^2 \cdot 10^{-2}}{0,8 \cdot 422} = 1,26 \text{ МПа}$$

де  $a$  – відстань між фазами, м;

$W_{y0-y0}$  – момент опору двох зрощених шин,  $\text{см}^3$ .

$\sigma_{\phi, \text{max}} = 1,26 \leq \sigma_{\text{доп}} = 82,3 \text{ МПа}$  умова механічної міцності виконується.

де  $\sigma_{\text{доп}} = 82,3 \text{ МПа}$  – допустима механічна напруга в матеріалі алюмінієвих шин.

Сила взаємодії між швелерами:

$$f_{\pi} = 0,5 \cdot \frac{i_{\text{уд}}^2}{h} \cdot 10^{-7} = 0,5 \cdot \frac{77,73^2}{0,2} \cdot 10^{-1} = 1510 \text{ Н/м}$$

де  $h$  - висота швелера, м.

Максимальна відстань між місцями зварювання швелерів:

Змн.	Арк.	№ докум.	Підпис	Дата

$$l_{\text{п.} \max} = \sqrt{\frac{12 \cdot (\sigma_{\text{доп}} - \sigma_{\phi, \max}) \cdot W_{y-y}}{f_{\text{п}}}} = \sqrt{\frac{12 \cdot (82,3 - 1,26) \cdot 40}{1510}} = 5,08 \text{ м}$$

де  $W_{y-y}$  – момент опору шин у вертикальній площині,  $\text{см}^3$ .

## 2.5 Вибір вимірювальних трансформаторів струму та напруги

Для ввімкнення електровимірювальних приладів і пристройів релейного захисту необхідна установка трансформаторів струму і напруги. У даному проекті релейний захист детально не розробляється, тому перевірку трансформаторів за вторинним навантаженням виконуємо з урахуванням ввімкнення тільки вимірювальних приладів.

У колі силового трансформатора з боку нижчої напруги встановлюється амперметр, вольтметр, варметр, лічильники активної і реактивної енергії, на шинах 110 кВ – вольтметр із перемикачем для виміру трьох міжфазових напруг, на секційному вимикачі 10 кВ - амперметр, на лініях, що відходять, 10 кВ - амперметр, лічильники активної і реактивної енергій. Розрахунок вторинного навантаження трансформатора струму наведений у таблиці 2.8.

Таблиця 2.8 – Розрахунок вторинного навантаження трансформаторів струму

Прилад	Клас	Навантаження по фазах		
		A	B	C
Амперметр	1	0,5	0,5	0,5
Ваттметр	1,5	0,5	-	0,5
Варметр	1,5	0,5	-	0,5
Лічильник активної енергії	1	2,5	-	2,5
Лічильник реактивної енергії	1,5	2,5	-	2,5
Сумарне навантаження струму в колі силового тр-ра на боці ВН		0,5	0,5	0,5
Сумарне навантаження струму в колі силового тр-ра з боку НН		6,5	0,5	6,5
Сумарне навантаження струму в колі секц. вимикача на НН		0,5	0,5	0,5
Сумарне навантаження струму в колі відхідної лінії		0,5	0,5	0,5

Змн.	Арк.	№ докум.	Підпис	Дата	БР 5.6.141.254 П3	Аркуш
						39

Вибір трансформаторів струму наведений у таблицях 2.9 - 2.12.

Вибираємо трансформатор струму ТФЗМ-110Б-І.

Таблиця 2.9 – Вибір трансформатора струму в колі силового трансформатора на боці високої напруги 110 кВ:

Умова вибору	Розрахункові значення	Каталожні значення
$U_C \leq U_H$	110 кВ	110 кВ
$I_{расч} \leq I_{ном}$	588 А	800 А
$i_y \leq I_{npCKB}$	11,56 кА	124 кА
$B_K \leq I_T^2 t_r$	2,191 кА <sup>2</sup> ·с	2352 кА <sup>2</sup> ·с
$Z_H \leq Z_{H,ном}$	0,82 Ом	1,2 Ом

Для перевірки за вторинним навантаженням визначаємо опір приладів

$$Z_{прил} = \frac{S_{прил}}{I^2} = \frac{0,5}{5^2} = 0,02 \text{ Ом}$$

Тоді опір сполучних проводів може бути

$$Z_{пр} = Z_{ном} - Z_{прил} - Z_{к}$$

де  $Z_{пр}$  – номінальний опір навантаження, Ом;

$Z_{прил}$  – опір приладів, Ом;

$Z_{к}$  – опір контактів, Ом.

$$Z_{пр} = 1,2 - 0,02 - 0,1 = 1,08 \text{ Ом.}$$

Перетин жил при довжині кабеля  $l = 100$  м:

$$F = \rho \cdot \frac{l}{Z_{пр}} = 0.0175 \cdot \frac{100}{1.08} = 1.62 \text{ мм}^2$$

Змн.	Арк.	№ докум.	Підпис	Дата	БР 5.6.141.254 П3	Аркуш
						40

де  $\rho$  – питомий опір міді,  $0,0175 \text{ (Ом} \cdot \text{мм}^2/\text{м)}$ ,

$F$  – перетин жил,  $\text{мм}^2$ .

Перетин сполучних проводів за умовами механічної міцності повинний бути не менше ніж  $2,5 \text{ мм}^2$  для мідних жил.

Опір обраних проводів:

$$Z_{\text{пр}} = \rho \cdot \frac{l}{F} = 0.0175 \cdot \frac{100}{2,5} = 0.7 \text{ Ом}$$

Загальний опір струмового кола

$$Z_H = Z_{\text{прил}} + Z_k + Z_{\text{пр}} = 0,02 + 0,1 + 0,7 = 0,82 \text{ Ом}$$

що менше ніж  $1,2 \text{ Ом}$ , припустимих при роботі трансформатора в класі точності 0,5.

Трансформатор струму ТФЗМ-110Б-І відповідає умовам вибору.

Вибираємо трансформатор струму ТШВ-15-У3.

Таблиця 2.10 – Вибір трансформатора струму у колі трансформатора на боці  $10 \text{ кВ}$

Умова вибору	Розрахункові значення	Каталожні значення
$U_C \leq U_H$	10 кВ	15 кВ
$I_{\text{расч}} \leq I_{\text{ном}}$	6470 А	8000 А
$i_y \leq i_{\text{огн}}$	77,73 кА	-
$B_K \leq I_T^2 t_r$	174,83 $\text{kA}^2 \cdot \text{с}$	3650 $\text{kA}^2 \cdot \text{с}$
$Z_H \leq Z_{H,\text{ном}}$	1,06 Ом	1,2 Ом

Для перевірки за вторинним навантаженням визначаємо опір приладів

$$Z_{\text{прил}} = \frac{S_{\text{прил}}}{I^2} = \frac{6,5}{5^2} = 0,26 \text{ Ом}$$

Змн.	Арк.	№ докум.	Підпис	Дата

БР 5.6.141.254 П3

Аркуш

41

Тоді опір сполучних проводів може бути

$$Z_{\text{пр}} = Z_{\text{ном}} - Z_{\text{прил}} - Z_k$$

де  $Z_{\text{пр}}$  – номінальний опір навантаження, Ом;

$Z_{\text{прил}}$  – опір приладів, Ом;

$Z_k$  – опір контактів, Ом.

$$Z_{\text{пр}} = 1,2 - 0,26 - 0,1 = 0,84 \text{ Ом.}$$

Перетин жил при довжині кабеля  $l = 100$  м:

$$F = \rho \cdot \frac{l}{Z_{\text{пр}}} = 0,0175 \cdot \frac{100}{0,84} = 2,08 \text{ мм}^2$$

де  $\rho$  – питомий опір міді,  $0,0175$  ( $\text{Ом} \cdot \text{мм}^2/\text{м}$ ),

$F$  – перетин жил,  $\text{мм}^2$ .

Перетин сполучних проводів за умовами механічної міцності повинний бути не менше ніж  $2,5 \text{ мм}^2$  для мідних жил.

Опір обраних проводів:

$$Z_{\text{пр}} = \rho \cdot \frac{l}{F} = 0,0175 \cdot \frac{100}{2,5} = 0,7 \text{ Ом.}$$

Загальний опір струмового кола

$$Z_H = Z_{\text{прил}} + Z_k + Z_{\text{пр}} = 0,26 + 0,1 + 0,7 = 1,06 \text{ Ом.}$$

що менше ніж  $1,2$  Ом, припустимих при роботі трансформатора в класі точності  $0,5$ .

Трансформатор струму ТШВ-15-У3 відповідає умовам вибору.

Вибираємо трансформатор струму ТШЛ-10-У3.

Змн.	Арк.	№ докум.	Підпис	Дата

БР 5.6.14 1.254 П3

Аркуш

42

Таблиця 2.11 – Вибір трансформатора струму в колі секційного вимикача 10 кВ

Умова вибору	Розрахункові значення	Каталожні значення
$U_C \leq U_H$	10 кВ	10 кВ
$I_{расч} \leq I_{ном}$	3,23 кА	4000 А
$i_y \leq i_{онн}$	77,73 кА	-
$B_K \leq I_T^2 t_r$	174,83 кА <sup>2</sup> ·с	3250 кА <sup>2</sup> ·с
$Z_H \leq Z_{H,ном}$	0,56 Ом	0,8 Ом

Для перевірки за вторинним навантаженням визначаємо опір приладів

$$Z_{прил} = \frac{S_{прил}}{I^2} = \frac{0,5}{5^2} = 0,02 \text{ Ом}$$

Тоді опір сполучних проводів може бути

$$Z_{пр} = Z_{ном} - Z_{прил} - Z_{к}$$

де  $Z_{пр}$  – номінальний опір навантаження, Ом;

$Z_{прил}$  – опір приладів, Ом;

$Z_{к}$  – опір контактів, Ом.

$$Z_{пр} = 0,8 - 0,02 - 0,1 = 0,68 \text{ Ом.}$$

Перетин жил при довжині кабеля  $l = 100$  м:

$$F = \rho \cdot \frac{l}{Z_{пр}} = 0,0175 \cdot \frac{100}{0,68} = 2,57 \text{ мм}^2$$

де  $\rho$  – питомий опір міді, 0,0175 (Ом·мм<sup>2</sup>/м),

$F$  – перетин жил, мм<sup>2</sup>.

Перетин сполучних проводів за умовами механічної міцності повинний бути не менше ніж 4 мм<sup>2</sup> для мідних жил.

Змн.	Арк.	№ докум.	Підпис	Дата	БР 5.6.141.254 П3	Аркуш
						43

Опір обраних проводів:

$$Z_{\text{пр}} = \rho \cdot \frac{l}{F} = 0.0175 \cdot \frac{100}{4} = 0,438 \text{ Ом.}$$

Загальний опір струмового кола

$$Z_H = Z_{\text{прил}} + Z_k + Z_{\text{пр}} = 0.02 + 0.1 + 0,438 = 0,56 \text{ Ом.}$$

що менше ніж 0,8 Ом, припустимих при роботі трансформатора в класі точності 0,5.

Трансформатор струму ТШЛ-10-У3 відповідає умовам вибору.

Вибираємо трансформатор струму ТШЛП-10-У3.

Таблиця 2.12 – Вибір трансформатора струму на лінії, що віходить

Умова вибору	Розрахункові значення	Каталожні значення
$U_C \leq U_H$	10 кВ	10 кВ
$I_{\text{расч}} \leq I_{\text{ном}}$	647 А	1000 А
$i_y \leq i_{\text{дин}}$	77,73 кА	-
$B_K \leq I_T^2 t_r$	174,83 кА <sup>2</sup> ·с	3250 кА <sup>2</sup> ·с
$Z_H \leq Z_{H,\text{ном}}$	0,56 Ом	0,8 Ом

Для перевірки за вторинним навантаженням визначаємо опір приладів

$$Z_{\text{прил}} = \frac{S_{\text{прил}}}{I^2} = \frac{0,5}{5^2} = 0,02 \text{ Ом}$$

Тоді опір сполучних проводів може бути

$$Z_{\text{пр}} = Z_{\text{ном}} - Z_{\text{прил}} - Z_k$$

де  $Z_{\text{пр}}$  – номінальний опір навантаження, Ом;

$Z_{\text{прил}}$  – опір приладів, Ом;

$Z_k$  – опір контактів, Ом.

Змн.	Арк.	№ докум.	Підпис	Дата	БР 5.6.141.254 П3	Аркуш
						44

$$Z_{\text{пр}} = 0,8 - 0,02 - 0,1 = 0,68 \text{ Ом.}$$

Перетин жил при довжині кабеля  $l = 100$  м:

$$F = \rho \cdot \frac{l}{Z_{\text{пр}}} = 0,0175 \cdot \frac{100}{0,68} = 2,57 \text{ мм}^2$$

де  $\rho$  – питомий опір міді,  $0,0175 (\text{Ом} \cdot \text{мм}^2/\text{м})$ ,

$F$  – перетин жил,  $\text{мм}^2$ .

Перетин сполучних проводів за умовами механічної міцності повинний бути не менше ніж  $4 \text{ мм}^2$  для мідних жил.

Опір обраних проводів:

$$Z_{\text{пр}} = \rho \cdot \frac{l}{F} = 0,0175 \cdot \frac{100}{4} = 0,438 \text{ Ом.}$$

Загальний опір струмового кола

$$Z_{\text{H}} = Z_{\text{прил}} + Z_k + Z_{\text{пр}} = 0,02 + 0,1 + 0,438 = 0,56 \text{ Ом.}$$

що менше ніж  $0,8 \text{ Ом}$ , припустимих при роботі трансформатора в класі точності  $0,5$ .

Трансформатор струму ТШЛП-10-У3 відповідає умовам вибору.

Обираємо трансформатори напруги за заданими значеннями напруги та за потужністю.

На боці високої напруги  $110 \text{ кВ}$  обираємо трансформатори НКФ-110-58У1, на боці  $10 \text{ кВ}$  – ЗНОЛ.09-10.02, використовуючи дані із таблиць наведених у довідниках.

Змн.	Арк.	№ докум.	Підпис	Дата	БР 5.6.14.1.254 П3	Аркуш
						45

Таблиця 2.13 – Вибір трансформатора напруги з боку ВН

Тип	Клас напруги	Номінальна напруга обмоток			Номінальна потужність, В·А, в класі точності				Максимальна потужність, В·А
		Первинної, кВ	Основної вторинної, В	Додаткової, В	0,2	0,5	1	3	
НКФ-110-58У1	110	110/ $\sqrt{3}$	100/ $\sqrt{3}$	100/3	-	400	600	1200	2000

Таблиця 2.14 – Вибір трансформатора напруги з боку НН

Тип	Клас напруги	Номінальна напруга обмоток			Номінальна потужність, В·А, в класі точності				Максимальна потужність, В·А
		Первинної, кВ	Основної вторинної, В	Додаткової, В	0,2	0,5	1	3	
ЗНОЛ.09-10.02	10	10/ $\sqrt{3}$	100/ $\sqrt{3}$	100	50	75	150	300	630

## 2.6 Обґрунтування схеми електричних з'єднань підстанції

Основна схема електричних з'єднань повинна задовольняти такі вимоги

[4]:

- забезпечувати надійність електропостачання в нормальних та післяаварійних режимах;
- ураховувати перспективи розвитку;
- допускати можливість розширення;
- забезпечувати можливість виконання ремонтних і експлуатаційних робіт на окремих елементах схеми та без відключення приєднань.

При цьому слід застосовувати найпростіші схеми.

Підстанція відноситься до класу тупикових підстанцій. Для даного класу напруги, набору зовнішніх приєднань і потужності трансформаторів, з урахуванням того, що застосування віддільників в умовах холодного клімату не рекомендується, приймаємо до установки на проектованій підстанції схему «два блоки «лінія - трансформатор» з вимикачем у ланцюзі трансформатора та неавтоматичною перемичкою» (рис. 2.5).

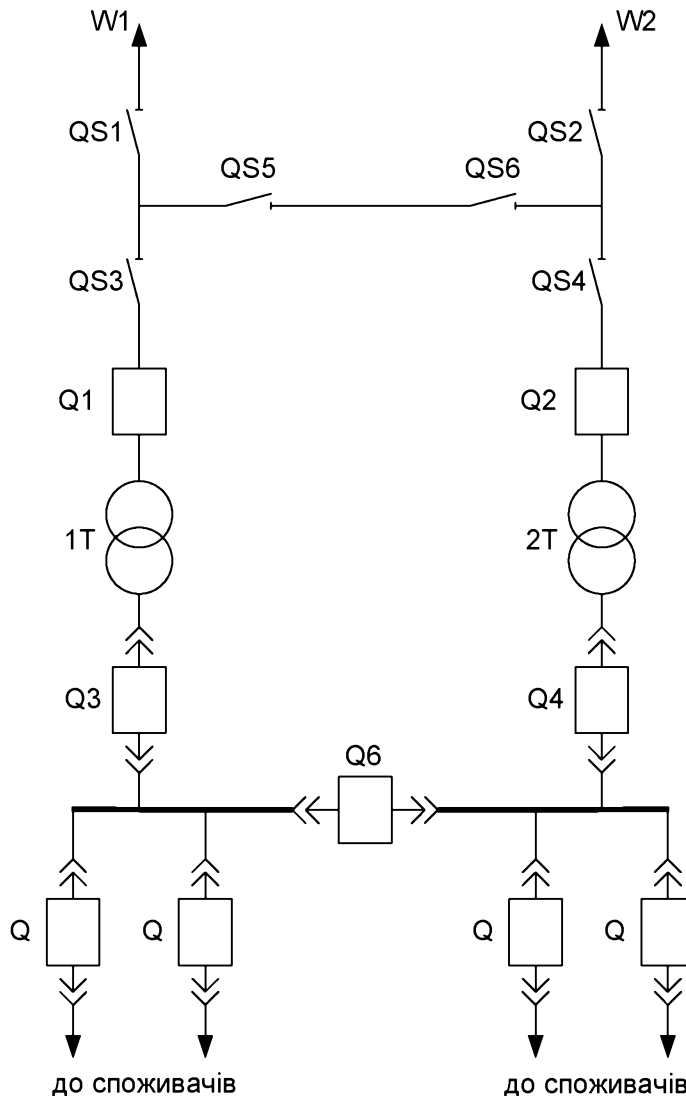


Рисунок 2.5 – Схема розміщення високовольтних апаратів на підстанції

Схема з ремонтною перемичкою, виконаною за допомогою роз'єднувачів («неавтоматичною» перемичкою), забезпечує можливість приєднання обох трансформаторів до однієї лінії при ремонті іншої.

Схема підстанції наведена на графічній частині проекту.

У нормальному режимі все комутаційне обладнання включене, за винятком роз'єднувачів QS3...QS4 у ремонтній перемичці. Повітряні лінії W1, W2 - лінії, які з'єднують проектовану підстанцію з енергосистемою.

Розглянемо наслідки аварійних ситуацій у даній схемі:

1) Відмова одного із трансформаторів (припустимо T1). При короткому замиканні в трансформаторі T1 відбувається відключення вимикача Q1. Живлення споживачів підстанції здійснюється через трансформатор T2 за

Змн.	Арк.	№ докум.	Підпис	Дата	БР 5.6.141.254 П3	Аркуш
						47

рахунок його перевантажувальної здатності.

2) Відмова однієї лінії, яка з'єднує споживачів з електростанцією (W1). При короткому замиканні на лінії W1 відбувається відключення вимикача Q1, трансформатор T1 втрачає живлення. Після відключення W1 оперативний персонал відключає ушкоджену лінію лінійним роз'єднувачем. Після цього замикається раніше відключений роз'єднувач QS3, відбувається включення Q1 і трансформатор T1 відновлює живлення.

3) Відмова одного з вимикачів (Q1). При короткому замиканні у вимикачі Q1 відключається головний вимикач і лінія W1. Живлення всіх споживачів підстанції здійснюється від лінії W2 і трансформатора T2.

Таким чином, з наведеного аналізу видно, що при використанні даної схеми відсутній варіант простої (одиночної) аварійної ситуації, яка приводить до відключення споживачів проектованої підстанції.

Найбільш важкою аварійною ситуацією є відмова однієї з житлових ліній (W1) у період ремонту одного із трансформаторів (T2), але й у цьому випадку є можливість забезпечити живлення споживачів проектованої підстанції від лінії W2 через ремонтну перемичку QS3-QS4 і трансформатор T1.

## 2.7 Вибір трансформаторів власних потреб

Приймачами власниками власних потреб є [10]:

- оперативні кола;
- електродвигуни, системи охолодження силових трансформаторів, висвітлення і електроопалення приміщень;
- електропідігрівання комутаційної апаратури і т.д.

Сумарна розрахункова потужність приймача власних потреб визначається з урахуванням коефіцієнтів попиту. Розрахунок потужності приймача власних потреб наведений у табл. 2.15.

На підстанції передбачається установка 2 трансформаторів власних потреб. Номінальна потужність вибирається з умов

Змн.	Арк.	№ докум.	Підпис	Дата	БР 5.6.14 1.254 П3	Аркуш
						48

$$S_{TCH} \geq S_{CH},$$

де  $S_{TCH}$  - потужність трансформатора власних потреб, кВА;

$S_{CH}$  - потужність споживачів власних потреб, кВА.

Таблиця 2.15 – Розрахунок потужності приймача власних потреб

№ п/п	Найменування споживача	Установлена потужність		Коеф. попиту	$\cos\varphi$	Навантаження	
		Одиниці, кВт х кількість	Всього, кВт			$P_{уст}$ , кВт	$Q_{уст}$ , кВАр
1	Охолодження трансформаторів ТДЦ-80000/110	2x5	10	0,8	0,85	10	6,2
2	Підігрів високовольтних вимикачів зовнішньої установки	2x4	8	0,8	1	8	-
3	Підігрів приводів роз'єднувачів зовнішньої установки	4x0,6	2,4	0,8	1	2,4	-
4	Опалення, освітлення, вентиляція закритого РУ	-	5	0,8	1	5	-
5	Освітлення РУ	-	2	0,8	1	2	-
	Всього					27,4	6,2

### Розрахункове навантаження

$$S_{уст} = K_C \cdot \sqrt{P_{уст}^2 + Q_{уст}^2}$$

де  $K_C$  – коефіцієнт попиту. Приймаємо рівним 0,8

$$S_{уст} = 0,8 \cdot \sqrt{27,4^2 + 6,2^2} = 22,5 \text{ кВА}$$

Змн.	Арк.	№ докум.	Підпис	Дата	БР 5.6.14.1.254 П3	Аркуш
						49

Під час ввімкнення цього навантаження на один трансформатор допускається його перевантаження на 20%. Потужність трансформатора для забезпечення живлення навантаження власних потреб з урахуванням ремонтних навантажень. Ремонтне навантаження на підстанції можна брати таким, що дорівнює  $S_{TCP} = 20 - 25$  кВА.

$$S_{TCH} = \frac{S_{CH} + S_{TCP}}{1,2} = \frac{22,5 + 20}{1,2} = 35,4 \text{ кВА.}$$

Беремо стандартну потужність трансформатора  $S_{TCH} = 40$  кВА. Остаточно для живлення споживача власних потреб беремо два трансформатори стандартної потужності: ТМ-40/10.

## 2.8 Компонування розподільних пристройів на боці 110 кВ

Підстанції (ПС) 110 кВ споруджують, як правило, відкритими.

Спорудження закритих ПС напругою 110 кВ, допускається в таких випадках [9]: розміщення ПС із трансформаторами 16 МВА і вище на службовій території міст, розміщення ПС на території міст, коли це допускається містобудівним міркуванням.

На ПС електропостачання промислових підприємств передбачається водяне опалення, приєднане до теплових мереж підприємств.

Будинки ЗРУ (закритих РУ) допускається виконувати як окремо розміщені, так і зблокованими з будинками РПУ в тому числі і по вертикалі.

Трансформатори 110 кВ варто установлювати відкритими, а у районах із забрудненою атмосферою з посиленою ізоляцією.

Схеми для напруг 110 кВ і вище повинні складатися з урахуванням таких вимог: ремонт вимикачів 110 кВ і вище виконується без відключення присідань: повітряні лінії відключаються від РП не більше ніж двома вимикачами, трансформатори блоків відключаються не більше ніж трьома вимикачами і т.ін.

Змн.	Арк.	№ докум.	Підпис	Дата	БР 5.6.141.254 П3	Аркуш
						50

При відключеннях вимикачів у нормальному режимі РП не повинне відключати більше одного блока, у ремонтному - не більше двох блоків.

Для РП35-220 кВ при числі приєднань 12-16 одну з двох систем секціонують, при числі приєднань більш ніж 16 – секціонують обидві системи шин.

## 2.9 Компонування розподільних пристрій на боці 10кВ

РП 10 кВ входять до складу підстанцій як головні РП. До РП10 кВ підстанцій підключаються понижуючі трансформатори, синхронні компенсатори та ін.

Схеми РП10 кВ повинні задовольняти наступним вимогам [4-6]: неспрацювання вимикача не повинне приводити до припинення електропостачання відповідальних споживачів (1 категорія по ПУЭ), розширення РП з ростом навантажень не повинне приводити до зміни схеми і значних будівельних і монтажних робіт.

Секціювання збірних шин дозволяє задовольнити вимоги надійності. Розширення РП здійснюється заповненням резервних осередків або введенням нової секції.

РУ 10 кВ для комплектних трансформаторів ПС виконується у вигляді КРУН або КРУ, встановлюваних у закритих приміщеннях. У ЗРУ 10 кВ рекомендується встановлювати шафи КРУ заводського виготовлення.

Змн.	Арк.	№ докум.	Підпис	Дата	БР 5.6.14.1.254 П3	Аркуш
						51

### 3 РОЗРАХУНОК РЕЛЕЙНОГО ЗАХИСТУ ТРАНСФОРМАТОРА

#### 3.1 Визначення параметрів, необхідних для розрахунків захисту трансформатора

Необхідно виконати розрахунок поздовжнього диференціального струмового захисту для трансформатора типу ТДТН-40000/110 від усіх видів замикань на виводах і в обмотках сторін із заземленою нейтраллю, а також від багатофазних замикань на виводах і в обмотках сторін з ізольованою нейтраллю. Трансформатор отримує живлення від енергосистеми з параметрами  $x_{c,max} = 12 \text{ Ом}$ ;  $x_{c,min} = 18 \text{ Ом}$  (опори приведені до напруги  $U_{cp.nom} = 115 \text{ кВ}$ ).

Таблиця 3.1 – Паспортні дані трансформатора

Тип	Номінальна потужність, МВА	Номінальна напруга обмоток, кВ			Втрати, кВт		Напруга КЗ, %		Ток ХХ %
		ВН	СН	НН	ХХ	КЗ	ВН-НН	СН-НН	
ТДТН-40000/110	40	115	38,5	11	21	100	17,5	6,5	0,8

### 3.2 Розрахунок струмів короткого замикання

Розраховуємо струми КЗ у максимальному й мінімальному режимах системи. Струми КЗ приведені до напруги 110 кВ.

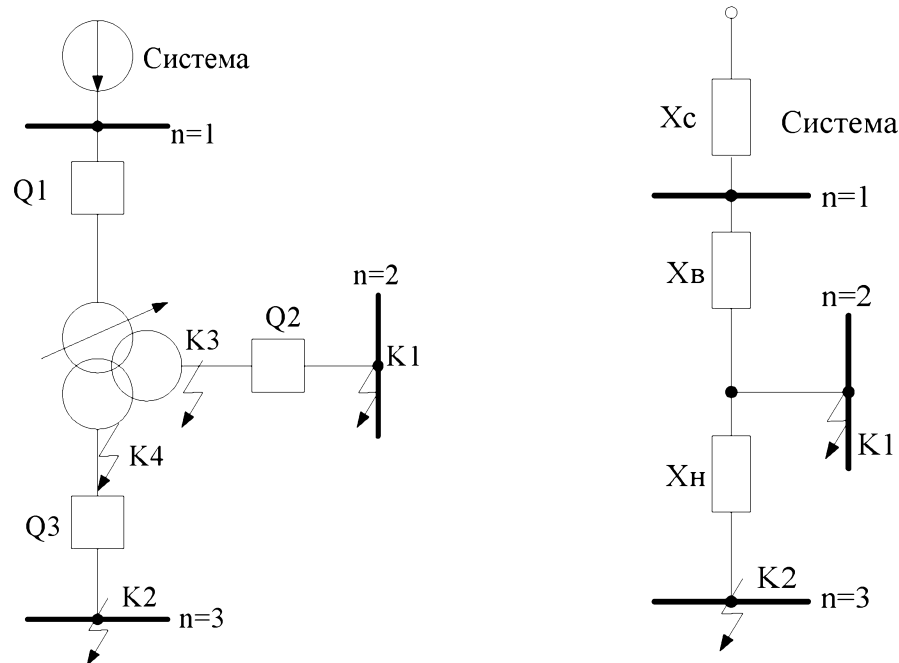


Рисунок 3.1 – Схема включення трансформатора, що захищається

Для складання схеми заміщення (рис. 3.1) обчислюються опори трансформатора. Знаходимо напругу  $U_{\kappa BC}$  з умови:

$$U_{\kappa BC} = U_{\kappa BH} - U_{\kappa CH} = 17,5 - 6,5 = 11 \%$$

$$U_{\kappa B} = 0,5(U_{\kappa BC} + U_{\kappa BH} - U_{\kappa CH}) = 0,5(11 + 17,5 - 6,5) = 11 \%$$

$$x_B = \frac{U_{\kappa B}}{100} \frac{U_{cp.nom}^2}{S_m} = \frac{11}{100} \frac{115^2}{40} = 36,4 \text{ Ом};$$

$$U_{\kappa H} = 0,5(U_{\kappa CH} + U_{\kappa BH} - U_{\kappa BC}) = 0,5(6,5 + 17,5 - 11) = 6,5 \%$$

$$x_H = \frac{U_{\kappa H}}{100} \frac{U_{cp.nom}^2}{S_m} = \frac{6,5}{100} \frac{115^2}{40} = 21,5 \text{ Ом};$$

$$x_c \approx 0 \text{ Ом.}$$

Змн.	Арк.	№ докум.	Підпис	Дата

При розрахунках струмів КЗ для захистів трансформаторів із РПН слід урахувати зміну опору за рахунок регулювання напруги. Для трансформаторів 110 кВ приблизно можна прийняти:

$$x_{m.\min} = x_{m.\text{ном}} (1 - \Delta U)^2; \quad x_{m.\max} = x_{m.\text{ном}} (1 + \Delta U)^2,$$

де  $x_{B.\min} = 36.4 * (1 - 0,12)^2 = 28,2$  (Ом);  $x_{B.\max} = 45,62$  (Ом);  $x_{H.\min} = 16,6$  (Ом);  $x_{H.\max} = 26,96$  (Ом).

Струм КЗ на шинах середньої напруги (точка К1, рисунок 3.1)

$$I_{\kappa.\max}^{(3)} = \frac{U_{cp.\text{ном}}}{\sqrt{3}(x_{c.\max} + x_{e.\min})} = \frac{115}{\sqrt{3}(12 + 28.2)} = 1.655(\kappa A)$$

$$I_{\kappa.\min}^{(2)} = \frac{U_{cp.\text{ном}}}{2(x_{c.\min} + x_{e.\max})} = \frac{115}{2(18 + 45.62)} = 0.904(\kappa A)$$

Струм КЗ на шинах НН (точка К2, рис. 3.1)

$$I_{\kappa.\max}^{(3)} = \frac{U_{cp.\text{ном}}}{\sqrt{3}(x_{c.\max} + x_{e.\min} + x_{h.\min})} = \frac{115}{\sqrt{3}(12 + 28.16 + 16.4)} = 1.1702 \kappa A$$

$$I_{\kappa.\min}^{(2)} = \frac{U_{cp.\text{ном}}}{2(x_{c.\min} + x_{e.\max} + x_{h.\max})} = \frac{115}{2(18 + 45.62 + 26.96)} = 0.635 \kappa A$$

Змн.	Арк.	№ докум.	Підпис	Дата

БР 5.6.141.254 П3

Аркуш

### 3.3 Розрахунок поздовжнього диференціального струмового захисту та вибір типу реле

1. Визначаємо середні значення первинних і вторинних номінальних струмів для всіх плечей диференціального захисту (по номінальній потужності найбільш потужної обмотки трансформатора). Розрахунки зводяться в табл. 3.2.

Таблиця 3.2 – Результати розрахунків

Найменування величини	Чисельне значення для сторони		
	115 кВ	38,5 кВ	11 кВ
Первинний номінальний струм трансформатора, А	$\frac{40000}{\sqrt{3} \cdot 115} = 201,06$	$\frac{40000}{\sqrt{3} \cdot 38.5} = 600,6$	$\frac{40000}{\sqrt{3} \cdot 11} = 2101,9$
Коефіцієнт трансформації трансформаторів струму $n_T$	600/5	1500/5	4000/5
Схема з'єднання обмоток трансформаторів струму	Δ	Δ	Y
Вторинний струм у плечі захисту, А	$\frac{201 * \sqrt{3}}{600 / 5} = 2,9$	$\frac{600,6 * \sqrt{3}}{1500 / 5} = 3,46$	$\frac{2101,9 * \sqrt{3}}{4000 / 5} = 4,55$

Струм спрацьовування захисту визначається за більшою із двох розрахункових умов:

а) відбудування від кидка струму намагнічування:

$$I_{c.3} = k_{omc} I_{nom} = 1,3 \cdot 201,1 = 261,4 \text{ A}$$

б) відбудування від струму небалансу, виконується з урахуванням виразів:

$$I_{c.3} = k_3 (k_{odn} \varepsilon + \Delta U_I + \Delta U_{II}) I_{k.max(K1)}^{(3)} = 1,3 (1,0 \cdot 0,1 + 0,12 + 0,05) 1655 = 580,9 \text{ A}$$

Змн.	Арк.	№ докум.	Підпис	Дата	БР 5.6.14.1.254 П3	Аркуш
						55

Приймається  $I_{c.3} = 580,9$  А.

2. Попередня перевірка чутливості проводиться по первинних струмах при двофазному КЗ на стороні НН (точка К4, рисунок 3.1):

$$k_u = \frac{I_{\kappa.\min(K4)}^{(2)}}{I_{c.3}} = \frac{635}{580,9} = 1,048 < 2$$

3. Оскільки захист із реле типу РНТ не забезпечує чутливості, а розрахунковим є відбудування від струму небалансу, то слід застосувати реле типу ДЗТ-11, для якого струм спрацьовування захисту вибирається за умовами:

а) відбудування від кидка, що намагнічує струм:

$$I_{c.3} = k_{omc} I_{nom} = 1,5 * 201 = 301 \text{ A}$$

б) відбудування від струму небалансу при КЗ на СН:

$$I_{c.3} = k_3 (k_{odn} \varepsilon + \Delta U_I + \Delta U_{II}) I_{\kappa.\max(K1)}^{(3)} = 1,5 (1,0 \cdot 0,1 + 0,12 + 0,05) 1655 = 670,3 \text{ A}$$

в) відбудування від струму небалансу при КЗ на НН:

$$I_{c.3} = k_3 (k_{odn} \varepsilon + \Delta U_I) I_{\kappa.\max(K2)} = 1,5 (1,0 \cdot 0,1 + 0,12) 1170 = 386 \text{ A}$$

Приймаємо реле ДЗТ-11 з уставкою гальмівної обмотки з боку СН. Тоді відбудування по підп. 3б буде забезпечене за рахунок гальмування, а струм спрацьовування захисту приймається по більшій з умов За і Зв:  $I_{c.3} = 386$  (А).

4. Визначається чутливість захисту при КЗ на стороні НН при мінімальному регулюванні:

Змн.	Арк.	№ докум.	Підпис	Дата	БР 5.6.14 1.254 П3	Аркуш

$$k_u = \frac{I_{\text{к.мин}}^{(2)}(K4)}{I_{c.3}} = \frac{635}{386} = 1,64$$

Це значення  $k_u$  трохи менше нормованого, однак, уже при номінальному коефіцієнті трансформації трансформатора струм КЗ складе:

$$I_{\text{к.мин}}^{(2)} = \frac{115}{2(18+36.4+21.5)} = 758 \text{ A}$$

і необхідний коефіцієнт чутливості забезпечується

$$k_u = \frac{758}{386} = 1.96$$

Тому захист із реле ДЗТ-11 може бути застосований.

### 3.4 Вибір уставок реле ДЗТ-11

Первинний і вторинний струми сторін трансформатора наведено в табл. 3.2.

З таблиці 3.2 випливає, що в якості основної слід обрати сторону НН (11 кВ), що має більший вторинний номінальний струм.

Струм спрацьовування реле для основної сторони визначається по виразу:

$$I_{cp.osn} = \frac{I_{c.3} k_{cx} \frac{U_{cp.nom}}{U_{nom}}}{K_{In}} = \frac{386 \cdot 1 \cdot \frac{115}{11}}{\frac{4000}{5}} = 5.046 \text{ A}$$

Розрахункове число витків робочої обмотки для основної сторони визначається:

Змн.	Арк.	№ докум.	Підпис	Дата	БР 5.6.141.254 П3	Аркуш
						57

$$w_{osn.rasch} = \frac{F_{cp}}{I_{c.p.osn}} = \frac{100}{5.046} = 19.81 \text{ витків}$$

Приймається  $w_{rab.osn} = 20$  витків, що відповідає фактичному струму спрацьовування реле  $I_{c.p.osn} = \frac{100}{20} = 5 \text{ A}$ .

Розрахункові числа витків для інших сторін трансформатора визначаються:

для сторони 110 кВ  $w_{raschI} = 20 \frac{4.55}{2.9} = 31.36$ . Приймається  $w_I = 31$ ;

для сторони 35 кВ  $w_{raschII} = 20 \frac{4.55}{3.46} = 26.25$ . Приймається  $w_{II} = 26$ .

Уточнений струм спрацьовування захисту з урахуванням погрішності вирівнювання знаходиться по виразах:

$$I_{c.3} = (k_{odn}\varepsilon + \Delta U_I + \Delta w_I) I_{\kappa.maks(K2)} = 1,5(1,0 \cdot 0,1 + 0,12 + 0,011) 1170 = 406.51 \text{ A},$$

де  $\Delta w_I = \frac{w_{Irasch} - w_I}{w_{Irasch}} = \frac{31.36 - 31}{31.36} = 0,011$ .

Уточнений розрахунковий струм спрацьовування реле визначається:

$$I_{cp.osn} = \frac{I_{c.3} k_{cx} \left( \frac{U_{cp.nom}}{U_{nomIII}} \right)}{k_{I(III)}} = \frac{406.51 \cdot 1 \left( \frac{115}{11} \right)}{\frac{4000}{5}} = 5.31 \text{ A}$$

Розрахунковий струм небалансу захисту при КЗ на стороні СН, де передбачене гальмування, з урахуванням погрішності вирівнювання знаходиться по виразах:

Змн.	Арк.	№ докум.	Підпис	Дата

$$I_{\text{нб.расч}} = k_3 \left( k_{nep} \varepsilon + \Delta U_I + \Delta U_{II} + \Delta w_{II} \right) I_{\kappa.\max(K1)} = \\ = 1.5 (1,0 \cdot 0,1 + 0,12 + 0,05 + 0,0095) 1655 = 693.95 (A)$$

де  $\Delta w_{II} = \frac{26.25 - 26}{26.25} = 0.0095$

Число витків гальмівної обмотки знаходиться по виразу:

$$w_{mopm} = \frac{k_3 I_{\text{нб.расч}} w_{рабn}}{I_{\kappa.\max(K1)} \operatorname{tg} \alpha} = \frac{1,5 \cdot 693.95 \cdot 26}{1655 \cdot 0,75} = 21.8 \text{ шт.}$$

Таким чином, до установки на реле приймаються наступні витки:

$$w_I = 31, w_{II} = 26, w_{III} = 20 \text{ i } w_{mopm} = 24 \text{ шт.}$$

Чутливість захисту визначається приблизно по первинних струмах при розрахунковому КЗ на стороні НН для випадків мінімального й нормального регулювання трансформатора

$$k_u = \frac{635}{406.5} = 1.56 \text{ i } k_u = \frac{789.2}{406.5} = 1.94$$

де  $I_{c.3} = 406.5 \text{ A}$  – фактичний струм спрацьовування захисту, при  $I_{c.p} = 5.31 \text{ A}$ .

Оскільки коефіцієнт чутливості захисту при нормальному регулюванні напруги практично відповідає нормованому, а при мінімальному регулюванні досить високий, то захист із реле ДЗТ-11 рекомендується до установки. Необхідно відзначити, що включення гальмівної обмотки на суму вторинних струмів сторін СН і НН дозволяє вибрати струм спрацьовування за умовою За і забезпечити  $k_u \geq 2$  у всіх режимах.

Змн.	Арк.	№ докум.	Підпис	Дата	БР 5.6.14 1.254 П3	Аркуш
						59

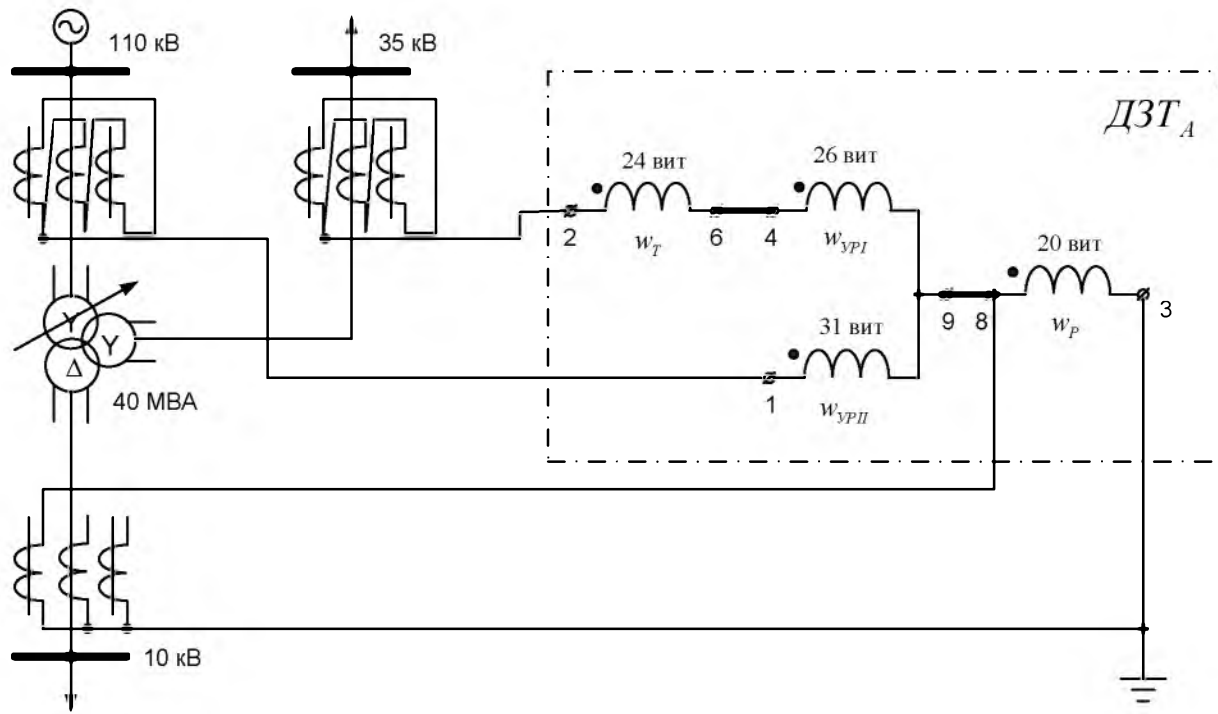


Рисунок 3.2 – Схема включення обмоток реле типу ДЗТ-11 у диференціальному захисті трьохобмоткового трансформатора

### 3.5 Розрахунок максимального струмового захисту з комбінованим пуском по напрузі

Для трьохобмоткових трансформаторів з однобічним живленням у якості резервного захисту рекомендується установка на стороні живлення МТЗ із пуском або без пуску по напрузі.

Спочатку визначається струм спрацьовування МТЗ без пуску по напрузі:

$$I_{c.3} = \frac{k_3}{k_6} k_c I_{\text{нагр.макс}} = \frac{1,2}{0,8} \cdot 2,5 \cdot 201 = 753.96 \text{ A}$$

Чутливість захисту перевіримо при КЗ на шинах СН і НН у мінімальних розрахункових режимах:

$$k_u = \frac{904}{753.96} = 1.2 \quad \text{i} \quad k_u = \frac{635}{753.96} = 0.84.$$

Змн.	Арк.	№ докум.	Підпис	Дата	БР 5.6.141.254 П3	Аркуш
						60

Оскільки чутливість МТЗ без пуску по напрузі виявляється недостатньою, застосуємо блокування по напрузі зі сторін СН і НН трансформатора. У цьому випадку струм спрацьовування захисту, визначений по рівнянню дорівнює

$$I_{c.3} = \frac{k_3}{k_e} I_{nom} = \frac{1,2}{0,8} \cdot 201 = 301,6 \text{ A}$$

а чутливість захисту в тих же розрахункових точках складе:

$$k_u = \frac{904}{301,6} = 3 \quad \text{i} \quad k_u = \frac{635}{301,6} = 2,1.$$

Напругу спрацьовування органу блокування при симетричних КЗ визначимо приблизно по виразу:

$$U_{c.3} \leq \frac{U_{c,min}}{k_e} = \frac{0,7 \cdot 115}{1,2} = 67,1 \text{ кВ.}$$

Напруга спрацьовування органу блокування при несиметричних КЗ визначається

$$U_{2c.3} = 0,06 U_{nom} = 0,06 \cdot 115 = 6,9 \text{ кВ.}$$

Чутливість блокувальних органів перевіряється при КЗ на прийомних сторонах трансформатора, куди й підключені блокувальні реле, тобто  $U_{\kappa.zau}^{(3)} = 0$ ,

$$\text{а } U_{2\kappa.zau} = \frac{U_\phi}{2} = \frac{115}{2 \cdot \sqrt{3}} = 33,24 \text{ кВ.}$$

Тоді

Змн.	Арк.	№ докум.	Підпис	Дата

БР 5.6.141.254 П3

Аркуш

$$k_{uU} = \frac{U_{c.3}}{U_{\kappa.\max}} = \frac{67.1}{0} > 1,5$$

$$k_{uU} = \frac{U_{2\kappa.\text{защ}}}{{U}_{2c.3}} = \frac{33.24}{6.9} = 4.82 > 1,5$$

Оскільки при КЗ на прийомних сторонах трансформатора  $k_u > 1,5$ , то диференціальні захисти шин на цих сторонах можна не встановлювати.

Струм спрацьовування захисту від симетричного перевантаження, що діє на сигнал, визначається за умовою відбудування від номінального струму трансформатора на стороні, де встановлений захист, по виразу

$$I_{c.3} = \frac{k_3}{k_e} I_{m.\text{ном}} = \frac{1,05}{0,8} 201 = 263.9 \text{ A.}$$

Витримки часу МТЗ узгодяться з витримками часу захистів ліній на сторонах СН і НН.

Змн.	Арк.	№ докум.	Підпис	Дата

БР 5.6.141.254 П3

Аркуш

#### 4. РОЗРАХУНОК ЗОН ЗАХИСТУ СТРИЖНЕВИХ БЛІСКАВКОВІДВОДІВ ВРП

В бакалаврській роботі необхідно розрахувати висоту і зону захисту блискавковідводів ВРП-110 кВ, встановлених на двох порталах, рис. 4.1 (поз. 1 і 2), і двох блискавковідводів, що стоять окремо, зазначених на рис. 4.1 (поз. 3 і 4), вважаючи, що блискавковідводи розташовані симетрично по відношенню до вузької сторони ВРП. Надійність зони захисту від уражень блискавки  $P_z = 0,999$ .

Накреслити горизонтальний перетин зони захисту блискавковідводів ВРП на висоті  $h_x$ .

Параметри розміщення блискавковідводів по площині ВРП наведені в табл. 4.1.

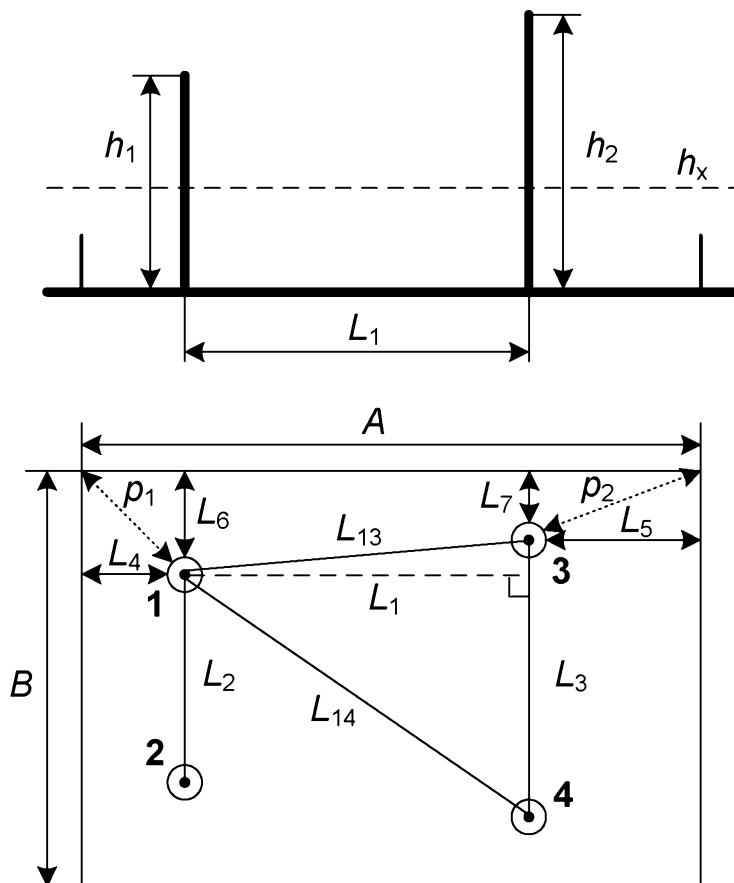


Рисунок 4.1 – Схема розміщення стрижневих блискавковідводів ВРП-110 кВ

Змн.	Арк.	№ докум.	Підпис	Дата

Таблиця 4.1 – Розрахункові параметри

$A$ , м	$B$ , м	$L_1$ , м	$L_2$ , м	$L_3$ , м	$L_4$ , м	$L_5$ , м	$h_x$ , м
58	34	34	26	32	10	14	6

1. Визначаємо відстані  $L_6$  та  $L_7$ :

$$L_6 = \frac{B - L_2}{2} = \frac{34 - 26}{2} = 4 \text{ м};$$

$$L_7 = \frac{B - L_3}{2} = \frac{34 - 32}{2} = 1 \text{ м.}$$

2. Визначаємо відстані  $p_1$  та  $p_2$ :

$$p_1 = \sqrt{L_4^2 + L_6^2} = \sqrt{10^2 + 4^2} = 10,77 \text{ м};$$

$$p_2 = \sqrt{L_5^2 + L_7^2} = \sqrt{14^2 + 1^2} = 14,04 \text{ м.}$$

3. Зона захисту подвійного стрижневого блискавковідводу складається з зовнішніх областей зони захисту (напівконусів з габаритами  $h_0$ ,  $r_0$ ), що виконуються за формулами для одиничних стрижневих блискавковідводів. Розміри внутрішніх областей визначаються параметрами  $h_0$  і  $h_c$ , перший з яких задає максимальну висоту зони безпосередньо біля блискавковідводів, а другий – мінімальну висоту зони посередині між блискавковідводами.

Зона захисту одиничного стрижневого блискавковідводу висотою  $h \leq 30 \text{ м}$  при надійності захисту  $P_s = 0.999$ , визначається рівняннями:

$$\begin{cases} h_{0n} = 0,7h_n \\ r_{xn} = \frac{r_{0n} \cdot (h_{0n} - h_x)}{h_{0n}} \\ r_{0n} = 0,6 \cdot h_n \end{cases} .$$

Змн.	Арк.	№ докум.	Підпис	Дата

БР 5.6.14.1.254 П3

Аркуш

Розраховуємо висоти блискавковідводів 1 та 2 виходячи з умови створення ними зони захисту на висоті  $h_x$  до кутів ВРП:

$$\begin{cases} h_{01} = 0,7h_1 \\ r_{x1} = \frac{r_{01} \cdot (h_{01} - h_x)}{h_{01}}, \text{ при } r_{x1} = p_1 \\ r_{01} = 0,6 \cdot h_1 \end{cases}$$

Шляхом математичних перетворень отримаємо рівняння відносно шуканої величини  $h_1$ :

$$p_1 = \frac{0,6h_1 \cdot (0,7h_1 - h_x)}{0,7h_1};$$

$$0,42h_1^2 - (0,7p_1 + 0,6h_x)h_1 = 0;$$

$$h_1 = 0; \quad h_1 = 26,52 \text{ м.}$$

Остаточно приймаємо блискавковіводи 1 та 2 висотою  $h_1 = h_2 = 26,52 \text{ м}$ , так як вона задовольняє умові застосування рівнянь при  $h \leq 30 \text{ м}$ .

Розраховуємо висоти блискавковідводів 3 та 4 виходячи з умови створення ними зони захисту на висоті  $h_x$  до кутів ВРП:

$$\begin{cases} h_{03} = 0,7h_3 \\ r_{x3} = \frac{r_{03} \cdot (h_{03} - h_x)}{h_{03}}, \text{ при } r_{x3} = p_2; \\ r_{03} = 0,6 \cdot h_3 \end{cases}$$

Шляхом математичних перетворень отримаємо рівняння відносно шуканої величини  $h_3$ :

$$p_2 = \frac{0,6h_3 \cdot (0,7h_3 - h_x)}{0,7h_3};$$

Змн.	Арк.	№ докум.	Підпис	Дата

$$0,42h_3^2 - (0,7p_2 + 0,6h_x)h_3 = 0;$$

$$h_3 = 0; \quad h_3 = 31,96 \text{ м.}$$

Висота блискавковідводів  $h_3 = h_4 = 31,96 \text{ м}$ , не задовольняє умові застосування рівнянь при  $h \leq 30 \text{ м}$ , тому для розрахунку висоти блискавковідводів застосовуємо наступні рівняння:

$$\begin{cases} h_{03} = [0,7 - 7,14 \cdot 10^{-4}(h - 30)]h_3; \\ r_{x3} = \frac{r_{03} \cdot (h_{03} - h_x)}{h_{03}}, \quad \text{при } r_{x3} = p_2. \\ r_{03} = [0,6 - 1,43 \cdot 10^{-3}(h - 30)]h_3; \end{cases}$$

Шляхом математичних перетворень розв'язуємо цю систему та знаходимо значення висоти 3 блискавковідводу  $h_3 = 32,1 \text{ м}$ , що задовольняє умові застосування рівнянь при  $30 < h \leq 100 \text{ м}$ .

Остаточно приймаємо блискавковідводи 3 та 4 висотою  $h_3 = h_4 = 32,1 \text{ м}$ .

4. Розраховуємо параметри зони захисту блискавковідводів 1 та 2:

$$L_{12} = L_2 = 26 \text{ м};$$

$$r_{01} = r_{02} = 0,6 \cdot h_l = 15,91 \text{ м};$$

$$h_{01} = h_{02} = 0,7 \cdot h_l = 18,56 \text{ м};$$

$$r_{x1} = r_{x2} = \frac{r_{01} \cdot (h_{01} - h_x)}{h_{01}} = 10,77 \text{ м};$$

$$L_{c12} = [2,25 - 0,01007(h_l - 30)]h_l = 59,67 \text{ м};$$

$$L_{\max 12} = [4,25 - 3,57 \cdot 10^{-3}(h_l - 30)]h_l = 112,71 \text{ м};$$

$$\begin{cases} h_{c12} = h_{01} = 18,56 \text{ м}, \quad L_{12} \leq L_{c12} \\ r_{cx12} = \frac{r_{01}(h_{c12} - h_x)}{h_{c12}} = 10,77 \text{ м}, \quad h_x < h_{c12} \end{cases}$$

Змн.	Арк.	№ докум.	Підпис	Дата

5. Розраховуємо параметри зони захисту блискавковідводів 3 та 4:

$$L_{34} = L_3 = 32 \text{ м};$$

$$r_{03} = r_{04} = 0,6 \cdot h_3 = 19,16 \text{ м};$$

$$h_{03} = h_{04} = 0,7 \cdot h_3 = 22,42 \text{ м};$$

$$r_{x3} = r_{x4} = \frac{r_{03} \cdot (h_{03} - h_x)}{h_{03}} = 14,04 \text{ м};$$

$$L_{c34} = 2,25 \cdot h_3 = 71,55 \text{ м};$$

$$L_{\max 34} = 4,25 \cdot h_3 = 136,18 \text{ м};$$

$$\begin{cases} h_{c34} = h_{03} = 22,42 \text{ м}, & L_{34} < L_{c34} \\ r_{cx34} = \frac{r_{03} (h_{c34} - h_x)}{h_{c34}} = 14,04 \text{ м}, & h_x < h_{c34} \end{cases}$$

6. Розраховуємо параметри зони захисту блискавковідводів 1 та 3 (2 та 4):

$$L_{13} = \sqrt{(L_1)^2 + \left( \frac{L_3 - L_2}{2} \right)^2} = 34,13 \text{ м};$$

6.1 Блискавковідводи 1 та 3 мають висоту  $h_l = 26,52 \text{ м}$

$$L_{c13} = 2,25 \cdot h_l = 59,67 \text{ м};$$

$$L_{\max 13} = 4,25 \cdot h_l = 112,71 \text{ м};$$

$$h_{c13} = h_{01} = 18,56 \text{ м}, \quad L_{13} \leq L_{c13}$$

6.2 Блискавковідводи 1 та 3 мають висоту  $h_3 = 32,1 \text{ м}$

$$L_{c31} = 2,25 \cdot h_3 = 71,55 \text{ м};$$

$$L_{\max 31} = 4,25 \cdot h_3 = 136,18 \text{ м};$$

$$h_{c31} = h_{03} = 22,42 \text{ м}, \quad L_{13} \leq L_{c31}$$

Змн.	Арк.	№ докум.	Підпис	Дата	БР 5.6.14.1.254 П3	Аркуш
						67

$$\begin{cases} h_{c\min 13} = \frac{h_{c13} + h_{c31}}{2} = 20.49 \text{ м}, \\ r_{c013} = \frac{r_{01} + r_{03}}{2} = 17.54 \text{ м}, \\ r_{cx13} = \frac{r_{c013}(h_{c\min 13} - h_x)}{h_{c\min 13}} = 12.4 \text{ м}. \end{cases}$$

7. Розраховуємо параметри зони захисту блискавковідводів 1 та 4 (2 та 3):

$$L_{14} = \sqrt{(L_1)^2 + \left( L_2 + \frac{L_3 - L_2}{2} \right)^2} = 44.69 \text{ м};$$

7.1 Блискавковідводи 1 та 4 мають висоту  $h_l = 26,52 \text{ м}$

$$L_{c14} = 2,25 \cdot h_l = 59,67 \text{ м};$$

$$L_{\max 14} = 4,25 \cdot h_l = 112,71 \text{ м};$$

$$h_{c14} = h_{01} = 18.56 \text{ м}, \quad L_{14} \leq L_{c14}$$

7.2 Блискавковідводи 1 та 4 мають висоту  $h_4 = 32,1 \text{ м}$

$$L_{c41} = 2,25 \cdot h_4 = 71,55 \text{ м};$$

$$L_{\max 41} = 4,25 \cdot h_4 = 136,18 \text{ м};$$

$$h_{c41} = h_{04} = 22.42 \text{ м}, \quad L_{14} \leq L_{c41}$$

$$\begin{cases} h_{c\min 14} = \frac{h_{c14} + h_{c41}}{2} = 20.49 \text{ м}, \\ r_{c014} = \frac{r_{01} + r_{04}}{2} = 17.54 \text{ м}, \\ r_{cx14} = \frac{r_{c014}(h_{c\min 14} - h_x)}{h_{c\min 14}} = 12.4 \text{ м}. \end{cases}$$

Змн.	Арк.	№ докум.	Підпис	Дата

БР 5.6.14.1.254 П3

Аркуш

Горизонтальний переріз зони захисту показаний на рис. 4.2.

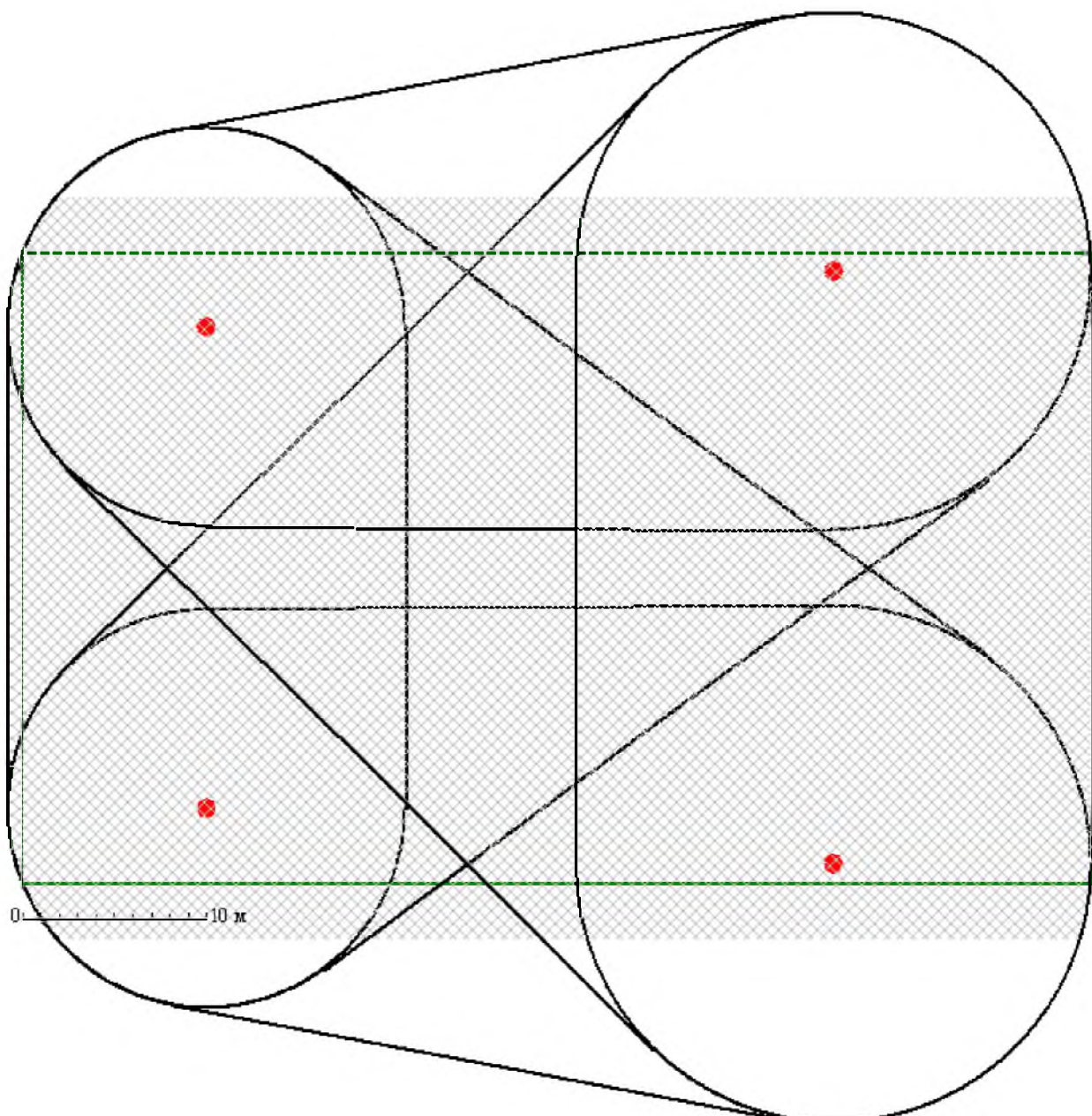


Рисунок 4.2 – Горизонтальний переріз зони захисту блискавковідводів ВРП

Змн.	Арк.	№ докум.	Підпис	Дата

## ВИСНОВКИ

У бакалаврській роботі зроблений розрахунок нормального режиму роботи замкнутої електричної мережі, конфігурація якої була визначена завданням.

Результати розрахунків втрат потужності показали, що найбільш придатною номінальною напругою кільцевої мережі є напруга 110 кВ. З урахуванням цього були обрані відповідні перерізи проводів для ліній електропередач, а також типи трансформаторів на підстанціях.

Для існуючої конфігурації замкнутої мережі були розраховані параметри схеми заміщення ліній і трансформаторів, складена розрахункова схема заміщення мережі й визначені розрахункові навантаження вузлів мережі.

У процесі розрахунків електричної частини підстанції ПС-1 була проведена перевірка правильності вибору номінальної потужності встановлених трансформаторів і здійснений вибір на підставі розрахунків струмів короткого замикання високовольтних апаратів РП, вимірювальних трансформаторів струму й напруги.

При виконанні розрахунків релейного захисту трансформатора підстанції ПС-2 був зроблений розрахунок поздовжнього диференційного струмового захисту та максимального струмового захисту з комбінованим пуском по напрузі.

Для захисту від міжфазних коротких замикань запропонований захист за допомогою реле типу ДЗТ-11, для якого був виконаний вибір уставок і розрахунок параметрів обмоток реле.

Проведений розрахунок блискавкоахисту підстанції, що виконаний у вигляді стрижневих блискавковідводів. Розраховані параметри зон захисту блискавковідводів на висоті  $h_x = 6$  м.

Змн.	Арк.	№ докум.	Підпис	Дата

БР 5.6.141.254 П3

Аркуш

70

## СПИСОК ЛІТЕРАТУРИ

1. Идельчик В.И. Электрические системы и сети. – Москва: Энергоатомиздат, 1989. – 592 с.
2. Справочник по проектированию электроэнергетических систем / под ред. И. М. Шапиро, С. С. Рокотяна. – Москва: Энергоатомиздат, 1986.
3. Технические сведения. Силовые трансформаторы / Под ред. И.Л. Лебединского. – Сумы: Изд-во СумДУ, 2005. – 49 с.
4. Электротехнический справочник: В 3-х т. Т. 3. Кн. 1. Производство, передача и распределение электрической энергии / Под общ. ред. В.Г. Герасимова, П.Г. Грудинского, Л.А. Жукова и др. - 6-е изд. – М.: Энергоиздат, 1988. – 656 с.
5. Васильев А.А. Электрическая часть станций и подстанций. – М.: Энергия, 1980. – 608 с.
6. Методичні вказівки до виконання курсового проекту на тему „Розрахунок замкнутої електричної мережі” з курсу „Електричні системи та мережі” / укладачі: І.Л. Лебединський, С.М. Лебедка, В.І. Романовський, В.В. Волохін. – Суми: Сумський державний університет, 2011. – 40 с.
7. Неклепаев Б.Н. Электрическая часть электростанций и подстанций. – М.: Энергоатомиздат, 1986. - 640 с.
8. Рожкова Л.Д., Козулин В.С. Электрооборудование станций и подстанций. - 3-е изд. – М.: Энергоатомиздат, 1987. – 648 с.
9. Правила узахтування електроустановок (ПУЕ). Харків: Видавництво «Форт», 2014. – 793 с.
10. Электрическая часть станций и подстанций: Учеб. для вузов / А.А. Васильев, И.П. Крючков, Е.В. Наяшкова и др. Под ред. А.А. Васильева. - 2-е изд., перераб. и доп. – М: Энергоатомиздат, 1990.

Змн.	Арк.	№ докум.	Підпис	Дата

БР 5.6.141.254 П3

Аркуш

71

11. Шабад М.А. Расчеты релейной защиты и автоматики распределительных сетей. -М.: Энергоатомиздат, 1985.

12. Учебное пособие для студентов, обучающихся по направлению «Электротехника», по курсу «Основы релейной защиты электрических систем». Часть III. Расчет защит трансформаторов и автотрансформаторов. Мариуполь: ПГТУ, 2001.

13. Техника высоких напряжений / Под ред. Г.С. Кучинского. – СПб.: Энергоатомиздат, 2003.

14. Методичні вказівки та завдання до розрахунково-графічних робіт з курсу «Грозозахист і перенапруга у електричних мережах» / укладач М.В. Петровський. – Суми: Сумський державний університет, 2011. – 40 с.

15. ДСТУ Б В.2.5-38:2008 Улаштування блискавкозахисту будівель і споруд. – Київ: Мінрегіонбуд України. – 2008.

16. 2068 Методичні вказівки до оформлення дипломних робіт: для студ. спец. 7.090603 денної та заочної форм навчання / М.А. Никифоров, І.Л. Лебединський. – Суми: СумДУ, 2008. – 72 с.

Змн.	Арк.	№ докум.	Підпис	Дата

БР 5.6.141.254 П3

Аркуш

72